

Özgüler, E., 1994, Ankara Su Temin Projesi Gerede - Çamlıdere Derivasyonu Işıklı Tüneli Alternatif Güzergahları Jeoteknik incelemesi, Doktora Tezi.  
Taner, O., 1992, Ankara Su Temin Projesi Gerede Sistemi Işıklı Tüneli Alternatif Güzergahları

Mühendislik Jeolojisi Ön Planlama Raporu, DSİ Raporu, Ankara.  
Ünlü, M. R., 1973, Kazanlar-Peçenek Alanının Jeolojisi ve Jeotermal Olanaklarına Dair Rapor, MTA Derleme, 5775, Ankara (Yayınlanmamış).

## ALANYA METAMORFİTLERİNİN (ANAMUR) JEOTEKNİK ÖZELLİKLERİ *Geotechnical properties of Alanya Metamorphites (ANAMUR)*

Aydın ÖZSAN  
Nuray GÜL

Ankara Üniversitesi Fen Fakültesi Jeoloji Mühendisliği Bölümü, Ankara.  
Ankara Üniversitesi Fen Bilimleri Enstitüsü, Ankara

**ÖZ:** Anamur baraj yeri. Anamur Nehri üzerindeki Alanya metamorfitlerinin üzerindedir. Anamur barajı 105 m. yüksekliğinde, kret uzunluğu 65 m. olup kaya dolgu bir baraj olarak planlanmaktadır.

Alanya metamorfitleri baraj yeri ve derivasyon tünel güzergahı boyunca fillit, şist, sleyt ve kuvarsit kaya birilerini içermektedir.

Saha ve laboratuvar çalışmaları sonucunda Alanya metamorfitlerine ait ayırtma dereceleri, RQD, yapısal, mekanik ve fiziksel özellikleri belirlenmiştir. Bu özelliklerden elde edilen jeoteknik parametrelere dayanarak Anamur baraj yerindeki divedasyon tünel güzergahı boyunca RSR- Jeomekanik -RMR ve Q-sistemi kaya kütle sınıflamalarına bağlı kaya kaliteleri saptanarak gerekli destek önlemleri önerilmiştir.

**ABSTRACT:** The proposed Anaur dam will be across the Anaur River on the Alanya metamorphites. The Anamur dam will be approximately 105 high with a crest length of about 650 m and will be planned rock - fill dam.

Alanya metamorphites consist of phyllite, schist, slate and quartzite rock units at the dam site and a long the derivation tunnel alignment.

Degree of weathering, RQD (Rock Quality Designation), structural, physical and mechanical properties of Alanya etamorphites have been determined. Geotechnical parameters obtained by these properties, rock qualities were determined and support requirements were recomended using RSR, Geomechanic - RMR and Q-System rock mass classifications on the tunnel alignment at the Anaur dam site.

### GİRİŞ:

Anamur çayı üzerinde yapılması planlanan Anamur baraj yerinin de içinde bulunduğu inceleme alanı, Anamur ilçesinin yaklaşık 10 km kuzey doğusunda yer almaktadır (Şekil 1).

Anamur barajı kaya dolgu baraj olarak planlanmakta olup, talweg kotu 50 m, temelden yüksekliği 105 m, kret uzunluğu 650 , maksium su yüksekliği 155 m dir.

Bu çalışmada Alanya metaorfitlerin jeoteknik özellikleri ve Anon (1977) ile Anamur barajı inşası esnasında açılacak derivasyon tüneli için, tünel güzergahı boyunca RSR (Wickha ve Diğ., 1974), Jeomekanik - RMR (Bieniawski, 1989) ve Q-sistemi (Barton ve diğ., 1974) kaya sınıflaaları kullanılarak kaya kalitesi tanımları yapılış ve gerekli desteklerne önlemleri saptanmıştır.

### Alanya metamorfitlerinin jeolojisi

Alanya metaorfitleri, baraj ve dolayında fillit, şist ve sleyt türü kayaçların içinde yer yer kuvarsit mercekleri şeklinde yüzlek verirler (Şekil - 2).

Fillit; mostra ve el numunelerinde açık-koyu yeşil renklidir. Kayacın genel dokusu lepidoblastiktir. Mineral bileşiminde ana mineral olarak kuvars, plajiolas, klorit., serizitik muskovit tali olarak opak mineral ve karbonat gözlenmiştir.

Şist; sahada genel olarak fillitler arasında 30-40 cm varan ara seviyeler halinde bulunurlar. Genel görünümleri yeşilimsi gri ile koyu yeşil arasında değişir. Porfiroblastik doku gösteren şistler de ana mineral olarak kuvars, plajiolas, klorit tali olarak opak mineral izlenmiştir.

Sleyt; birim genel olarak yeşil, yeşilimsi siyah, parlak ve kaygandır. Sleytin genel dokusu lepidoblastik olup ana mineral olarak kuvars, albit, klorit ve serizit tali mineral olarak opak mineral izlenmiştir.

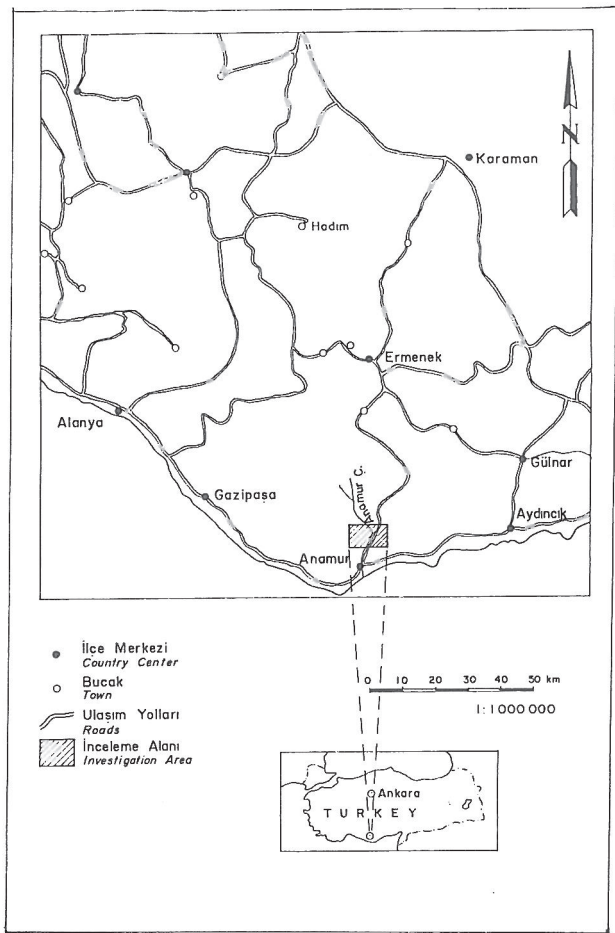
Kuvarsit; baraj yeri ve dolayında irili, ufaklı mercekler şeklinde şist, fillit ve sleytlerle birlikte bulunurlar. Gri, beyaz ve krem renklerinde, granoblastik dokuda izlenen kuvarsitte ana mineral olarak kuvars tali olarak plajiolas izlenmiştir.

### ALANYA METAMORFİTLERİNİN JEOTEKNİK ÖZELLİKLERİ

Anamur baraj yerindeki Alanya metamorfitlerinin jeoteknik özellikleri yapısal, mekanik ve fiziksel olarak 3 ana grupta incelenmiştir.

#### Yapısal Özellikler

Baraj yeri sol şekilde 506, sağ şekilde 416 ve baraj aksı boyunca 298 eklem ölçüleri alınmıştır. Sağ ve sol sahildeki eklem ölçülerine bağlı olarak eşit alan izdüşümleri (Şekil 3 ve 4) hazırlanmıştır. Baraj yeri sol



şekilde maksimum derişmeler N22E, 62NW ile N45E, 82NW. Sağ şekildeki maksimum derişme N80E, 50SE dir.

Alanya metamorfitlerini oluşturan şist, fillit ve sleyt, sık ve çok sık eklemli, kırılgan, dağılıgan, ayırtma dereceleri ise orta ile yüksek derece arasında değişmektedir. Kuvarsitler orta derecede eklemli, sert dayanıklı ayırtma derecesi ortadır.

Tünel güzergahı boyunca yapılan kaya kütle sınıflamalarındaki önemli jeoteknik parametre olan RQD'nin hesaplanması için saha formülü kullanılmıştır.

Bu formülde  $RQD = 115 - 3,3 Jv$  (Palmstrom, 1982) dir.  $Jv = 1 m^3$  deki eklem sayısıdır. RQD; Sleyt, fillit ve şist için en az % 16 en fazla % 49, kuvarsit için en az % 49 en fazla % 66 bulunmuştur. Şist, fillit ve Sleyt'in RQD ortalaması % 28 kaya kalitesi zayıf; Kuvarsit için ortalama % 58 kaya kalitesi ortadır.

#### Fiziksel ve Mekanik Özellikler

Sondaj karotları üzerinde laboratuvarda yapılan testler sonucunda Alanya metamorfitlerinin fiziksel ve mekanik özellikleri Tablo - 1 de gösterilmiştir.

Karot No	Kaya Birimi	Tek eksenli Basınç dayanımı MPa	Birim Ağırlık gr/cm <sup>3</sup>
1	Kuvarsit	112.80	2.66
2	Kuvarsit	95.77	2.64
3	Şist	44.62	2.69
4	Fillit	37.19	2.74
5	Fillit	41.19	2.75
6	Kuvarsit	77.65	2.57
7	Şist	44.76	2.73
8	Şist	27.73	2.74
9	Kuvarsit	115.68	2.90
10	Sleyt	3.33	2.83
11	Sleyt	9.34	2.82

**Tablo 1. Alanya metamorfitlerinin fiziksel ve mekanik özellikleri.**

**Table 1. Physical and mechanical properties of Alanya Metamorphites.**

#### Derivasyon tünel güzergahının mühendislik jeolojisi

Derivasyon tünel güzergahı 805 metre uzunluğundadır (Şekil 5).

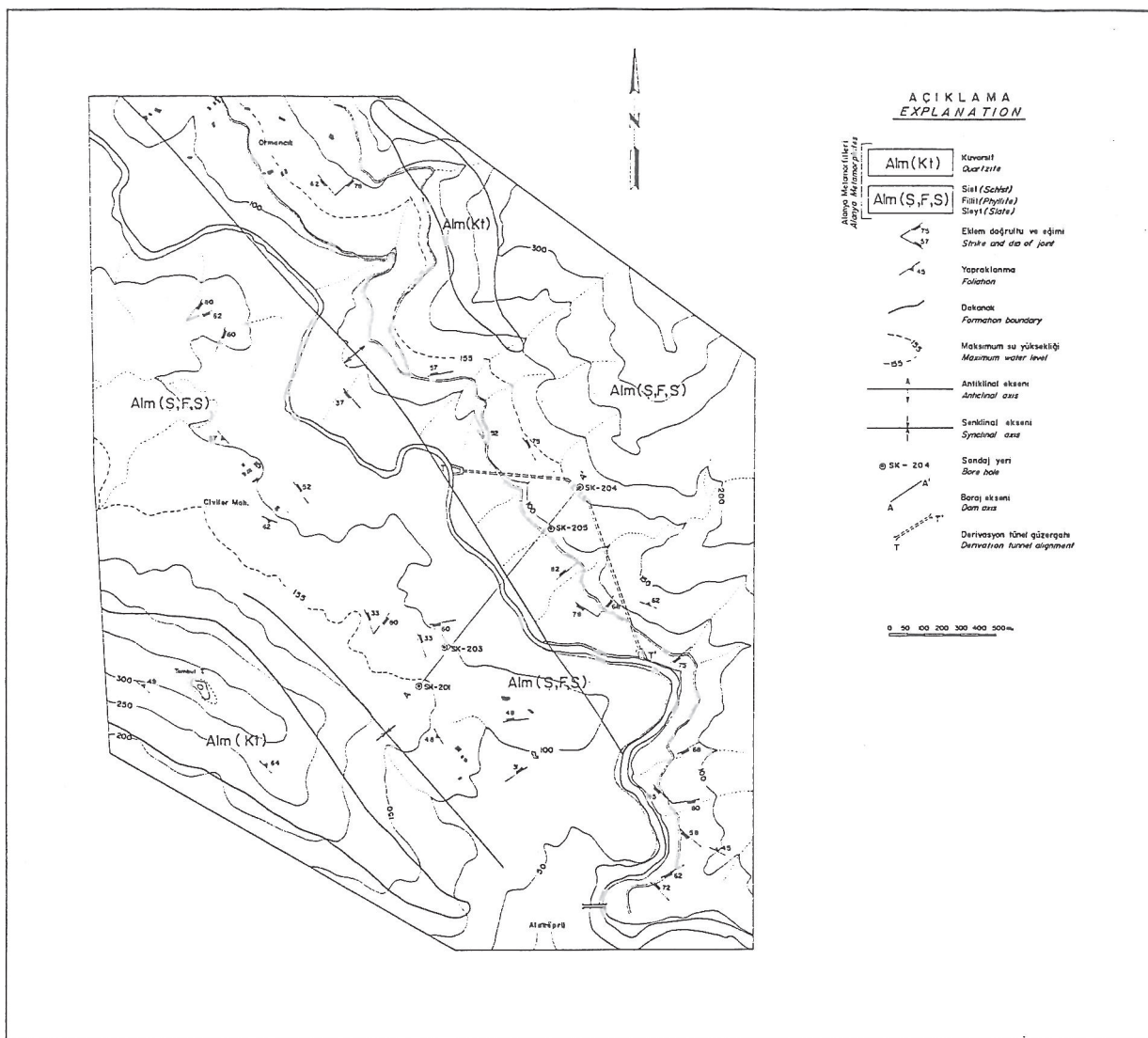
Tünel güzergahının doğrultusu;

0.00 m - 290 m arası N 84 W

290 m - 370 m arası N 48 W

370 m - 805 m arası N 20 W

Tünel açımı esnasında oluşabilecek sorunlara yaklaşım sağlamak amacıyla güzergah boyunca yapılan RSR, RMR ve Q sistemine ait kaya sınıflamaları ile gerekli destekleme önlemleri bulunmuştur. Özellikle jeomekanik - RMR ve Q- Sistemi sınıflamalarında kayaların en iyi ve en kötü koşullardaki kaliteleri tanımlanmıştır.



**Şekil 2.** Anamur baraj yerinin jeoloji haritası  
**Figure 2.** Geological map of Anamur dam site

#### I- RSR Kaya Sınıflaması

##### A) Fillit, sist ve sleyt

Kaya tipi : Yumuşak metamorfik kaya

Çok faylı kıvrımlı :

A Parametresi = 7

Eklem durumu : Çok sık eklemli

Doğrultu tünel eksenine dik, eğim 50° - 90°

B Parametresi = 13

Su gelişisi : Orta

Eklem durumu : Orta (Az günlenmiş veya ayırmış)

A + B = 20 için C Parametresi = 11

RSR = 7 + 13 + 11 = 31

Destek önemi = 73 cm aralıklı 25 mm çapındaki

bulonlar ve 109 mm kalınlığındaki püskürtme betonu veya 58 cm aralıklı çelik kafes (6 H20) gereklidir.

##### B) Kuvarsit

Kaya tipi: orta metamorfik kayaç

Orta derecede faylı ve kıvrımlı;

A parametresi: 13, Eklem durumu : Çok sık ekslemli

Doğrultu tünel eksenine dik (50° - 90°)

B parametresi : 20°

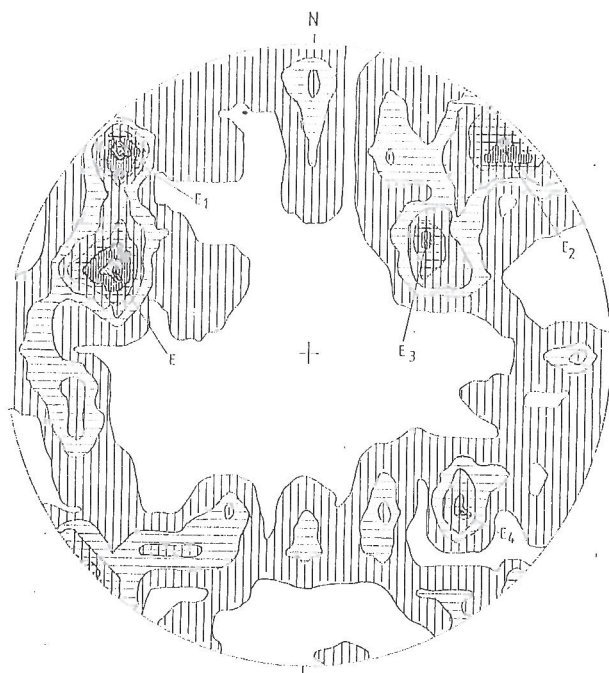
Su gelişisi: orta

Eklem durumu: Az günlenmiş veya ayırmış

A + B = 41 için C parametresi = 11

RSR = 13 + 28 + 11 = 52

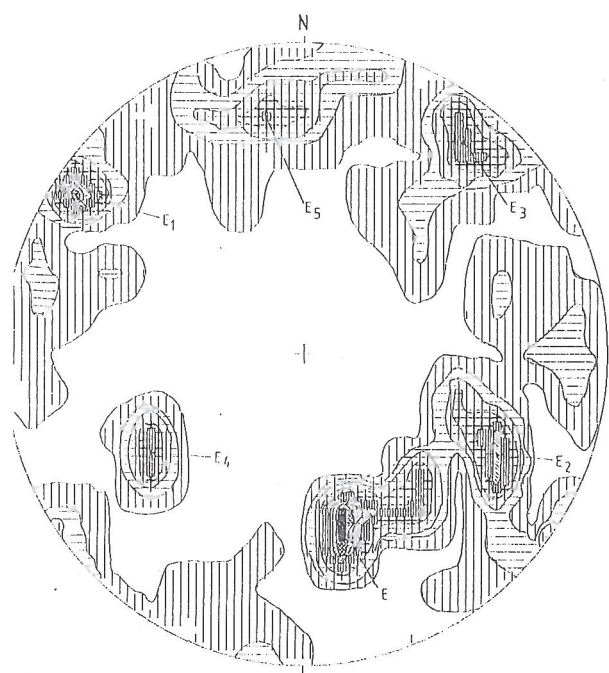
Destek Önlemi: 1.10 metre aralıklı 25 mm



Yüzde %	7 - 6	6 - 5	5 - 4	4 - 3	3 - 2	2 - 1	1 - 0	0
İşareller								
Legend	E <sub>1</sub> -Max	E <sub>2</sub> -Submax <sub>2</sub>	E <sub>3</sub> -Submax <sub>1</sub>	E <sub>4</sub> -Submax <sub>4</sub>				
Dönüm derecesi Concentration degree								
Durus Attitude	N32E, 62NW	N46W, 8-INE	N42W, 49NE	N46E, 66SE				

Şekil 3. Anamur baraj yeri sol sahilde ölçülmüş 506 eklemin eşit alan izdüşümü.

Figure 3. Equal-area projection of 506 joints measured on left - bank of Anamur dam site.



Yüzde %	9 - 8	8 - 7	7 - 6	6 - 5	5 - 4	4 - 3	3 - 2	2 - 1	1 - 0	n
İşareller										
Legend	E-Smax	E <sub>1</sub> -Submax <sub>1</sub>	E <sub>2</sub> -Submax <sub>2</sub>	E <sub>3</sub> -Submax <sub>3</sub>	E <sub>4</sub> -Submax <sub>4</sub>					
Dönüm derecesi Concentration degree										
Durus Attitude	N50E, 50SE	N45E, 8-INE		H29°, 66SE	N32W, 78NE	N44W, 51S	N30E, 70NW			

Şekil 4. Anamur baraj yeri sağ sahilde ölçülmüş 416 eklemin eşit alan izdüşümü.

Figure 4. Equal-area projection of 416 joints measured or right - bank of Anamur dam site

çapında bulanlar ve 61 mm kalınlığında püskürtme betonu veya 1.34 m aralıklı çelik kafes (6 H20) gerekir.

## II JEOMEKANİK - RMR

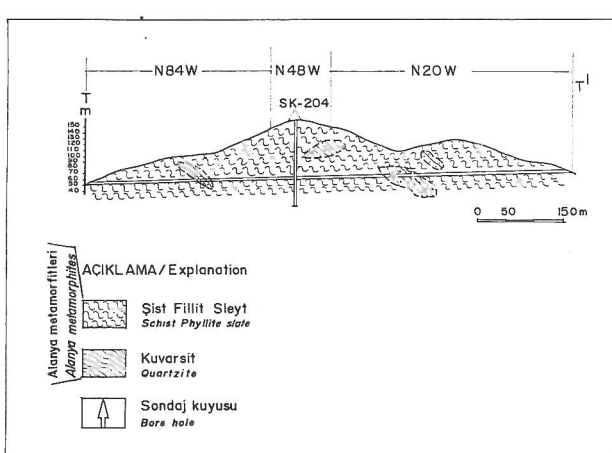
### A) Fillit, Sist ve Sleyt

	En iyi	En kötü
Tek eksenli dayanımı	4	1
RQD	8	3
Eklem sıklığı	8	5
Eklemlerin durumu	10	0
Yeraltı suyu	7	4
Eklem yönlenimine göre düzeltme	0	-12

37 1

Fillit, sist ve sleyt, en iyi şartlarda zayıf kaya en kötü şartlarda çok zayıf özelliğindedir. Kaya kütle sınıflaması IV ve V

Destek önlemi : Tablo 2'de verilmiştir.



Şekil 5. Anamur baraj yeri derivasyon tünelinin jeolojik kesiti.

Figure 5. Geological cross - section of derivation tunnel at Anamur dam site.

KAYA KÜTLESİ SINIF- LAMASI	KAZI	BİRİNCİL İKSA		
		Kaya bulonları *	Şatkrit	Çelik takımlar
I	Tam kesit 3 m. ilerleme	Bazı bulonların haricinde genellikle ikşä gerektirmez.		
II	Tam kesit 1,0-1,5 m. ilerleme	Kemerin 2-3 m. içinde yer yer bulonlar, tel kafeslerle 2-2,5 m. aralıklı, aynaya 20 m. ye kadar gereklidir.	Su geçirmezlik için tavan kemerinde 50 mm.	Yok
III	Tavan kemeri ve tabandan ilerleme Tavandan 1,5-3 m. ilerleme	3-4 m. uzunlukta sistematik bulonlar, kemerde tel kafesi duvarlar ve kemerde 1,5-2 m. aralıklı, aynaya 10 m. ye kadar gereklidir.	Tavan kemерinde 50-100 mm. yan duvarlarda 30 mm.	Yok
IV	Tavan kemeri ve tabandan ilerleme Tavandan 1,0-1,5 m. ilerleme	Tel kafesli duvarlarda ve kemerde 1-1,5 m. aralıklı, 4-5 m. uzunluklu sistematik bulonlar. Aynaya 10 m. ye kadar gereklidir	Tavan kemerinde 100-150 m. ve yan duvarlarda 100 mm. Kazı ilerledikçe ikşä yerles- tirilmelidir	Gerekken yerde 1,5 m. aralıklı yeryer hafif traversler (ribes)
V	Tavan ve taban müsterek ilerleme Tavandan 0,5-1 m. ilerleme	Tel kafesli duvarlarda ve kemerde 1-1,5 m. aralıklı, 5 m. uzunluklu sistematik bulonlar. Aynaya 5 m. ye kadar gereklidir	Tavan kemerinde 150-200 mm. yan duvarlarda 150 mm. Ayna- da 50 mm. Pallamadan hemen sonra şatkrit uygulanmalı.	Çelik ikşali 0,75 m. aralıklı ağır tra- versler.
		* 20 mm. çaplı tamamen reçine bağlılı, uzunluk tünel genişliğinin yarısı		

Tablo 2. Kaya tünellerindeki destek ve kazilarin jeomekanik sınıflama rehberi.

Table 2. Geomechanic classification guide for excavation and support of tunnels.

### B) Kuvarsit

	En iyi	En kötü
Tek eksenli dayanımı	12	7
RQD	7	4
Eklem sıklığı	10	8
Eklemlerin durumu	20	10
Yeraltı suyu	7	4
Eklem yönlenimine göre düzeltme	0	-12
	56	21

Kuvarsitler en iyi şartlarda orta kaya en kötü şartlarda zayıf kaya özelliğindedir. Destek önlemi: Tablo 2'de verilmiştir. Kaya kütte sınıflaması III ve IV.

### III Q - SİSTEMİ

Bu sınıflamada

$$Q = \frac{RQD}{Jn} \times \frac{Jr}{Ja} \times \frac{Jw}{SRF}$$

formülü kullanılır.

Destekleme önlemleri için  $B/ESR = 3/1.6 = 1.875$  bulunmuştur.

#### A) Fillit, Sist Sleyt

En iyi şartlarda

$$Q = \frac{49}{12} \times \frac{2}{2} \times \frac{0.66}{2.5} = 1.078 \text{ Zayıf kaya}$$

Destek önlemi kategorisi : Destekleme gereklmez.

En kötü şartlarda

$$Q = \frac{16}{20} \times \frac{1.5}{4} \times \frac{1}{2.5} = 0.12 \text{ Zayıf kaya}$$

Destek önlemi kategorisi : 29

Kategori 29 = 1 m aralıklı gerdimesiz sistematik bulonlar ve 5 cm kalınlıkta kafes takviyeli püskürme betonu gereklidir.

## B) Kuvarsit

En iyi

$$Q = \frac{70}{6} \times \frac{2}{0.75} \times \frac{0.66}{2.5} = 8.21 \text{ orta kaya}$$

Destek kategorisi : Destekleme gerekmez.

En kötü

$$Q = \frac{45}{9} \times \frac{1.5}{3} \times \frac{1}{2.5} = 1 \text{ zayıf kaya}$$

Destek kategorisi : Destekleme gerekmez.

## SONUÇLAR

Anamur baraj yeri ve dolayında mostra veren Alanya metamorfitlerini oluşturan kaya birimlerinin ayrışma dereceleri orta ile yüksek derece arasındadır. Kaya kalitesi genellikle zayıftır. Bu birimler çoğunlukla çok sık eklemli özellik göstermektedirler. Yapılan kaya

sınıflamalarında kaya kaliteleri çok zayıf kaya ile orta kaya arasında değişen değerler elde edilmiştir. Q - Sistemi ile yapılan sınıflamada jeoteknik parametreler daha ayrıntılı olduğundan bu sınıflama daha geçerlidir.

## DEĞİNİLEN BELGELER

- Anon, 1977, The description of rock masses for engineering purpose: Q JI. Eng. Geol. 10. pp 335-386.  
Barton, N., Lien, R., and Lunde, J., 1974, Classification of rock masses for design of tunnel support. Rock Mechanics, 6 (4) : 189-236.  
Bieniawski, Z. T., 1989, Engineering Rock mass Classifications. John Wiley and Sons, New York. 251 pp.  
Palmstrom, A., 1982, The Volumetric Joint count a Useful and Simple Measure of the Degree of Rock Jointing: Proc. 4 th. Int. Congr., Int Assoc. Eng. Geol., Dehli. 1982, Vol. 5, pp 221-228.  
Wickham, G. E. Tiedemann, H. R., and Skinner, E. H. 1974, Ground Support Prediction Model - RSR Concept II Proc. Rapid Excav. Tunneling conf., AIME, New York. pp. 691-707.

## PAMUKKALE - KARAHAYIT (DENİZLİ) JEOTERMAL ALANININ JEOTERMAL ENERJİ OLANAKLARI *Geothermal energy possibilities of the Pamukkale-Karahayit (Denizli)*

Erdoğan ÖLMEZ  
Tuncay ERCAN  
Ö. Faruk TAMGAÇ

M.T.A. Genel Müdürlüğü Enerji Hammadde Etüt ve Arama Dairesi, Ankara  
M.T.A. Genel Müdürlüğü Enerji Hammadde Etüt ve Arama Dairesi, Ankara  
M.T.A. Genel Müdürlüğü Enerji Hammadde Etüt ve Arama Dairesi, Ankara

**ÖZ:** Yüksek turistik ilgi alanı ve termal su kullanım potansiyeli nedeniyle Pamukkale-Karahayıt jeotermal alanı dikkate değer yerbilimleri çalışmalarına sahne olmuştur.

Batı Anadolu'da (Denizli) volkanik kökenli jeotermal sistemlere örnek olan bu sahada bir jeotermal çalışma yapılmıştır.

Sahada birimler oluşum sırasına göre metamorfikler (Paleozoyik) ve Neojene ait örtü nitelikli seviyelerce temsil edilirler.

Pamukkale-Karahayıt jeotermal sahası sıcaksu kaynakları ( $23.3^{\circ}\text{C}$ - $57.7^{\circ}\text{C}$ ), sıcak zeminler, gaz çıkışları, yaygın Fe ve traverten çökelleri ile aktif bir sistemin belirtecedir.

Kimyasal maddelerin nispi oranlarına göre hazırlanmış graflar alandaki sıcaksuların sodyum bikarbonat-sülfatlı sular (sodalı sular) olduğunu göstermektedir.

Helyum izotopik oranı ( $3\text{He} / 4\text{He}$ ) ile karbon izotopik oranı ( $13\text{C} / 12\text{C}$ ) na göre Pamukkale-Karahayıt jeotermal sahasından çıkan gazlar manto kökenli olup, sistem soğumakta olan bir volkanizma ile ilişkilidir, asal gazların varlığı ise sisteme yaygın miktarda meteorik katılımları göstermektedir.

**ABSTRACT:** Because of its high profile as a tourist attraction and the potential posed by its use for thermal waters, the Pamukkale and Karahayıt geothermal area has received considerable geoscientific attention.

A geothermal survey was conducted in Pamukkale-Karahayıt area, which is a moderate terrain for volcanic hosted systems in Turkey, is located in Western Anatolia (Denizli).

Geologic succession of the field in forming order is metamorphics (Paleozoic) and Neogene covers.

The Pamukkale-Karahayıt geothermal area has an active systems with hot springs ( $23.3^{\circ}\text{C}$  -  $57.5^{\circ}\text{C}$ ), hot grounds, condensable degassing, huge Fe and travertine depositions.

In terms of relative chemical content, hot water classified as sodium bicarbonate-sulphate type (soda spring).

On the basis of the helium isotopic ratio ( $3\text{He} / 4\text{He}$ ) and carbon isotopic ratio ( $13\text{C} / 12\text{C}$ ) amount of emitted gases are originated from mantle nearby and system has a cooling volcanic stratigraphy, existence of noble gases indicate high meteoric contributions.

### GİRİŞ

Pamukkale-Karahayıt jeotermal alanı; Büyük Menderes, Çürüksu vadisi ve Denizli ili sınırları içinde yer alır (Şekil 1).

Bu alanda yaptığımımız çalışmalarla volkanlarla ilgili olarak oluşan jeotermal sistemlere örnek olan çalışma alanımızın jeotermal enerji olanaklarını sunacağız.

Çalışmalarda bölgede daha önceleri yapılmış çalışmalardan toplanan veriler ile, yakın bir zamanda bölgedeki sıcaksu kaynaklarında yapılan izotop analizleri ( $\text{He}$ ,  $\text{C}$  ve asal gazlar) ve bu analizlerden elde edilen verilerle bölgedeki volkanizma/jeotermal enerji ilişkilerini irdeliyerek bu jeotermal alanın orijinin, jeotermal akışkanlarının hidrojeokimyasını, bunlara ait izotop verilerinin değerlendirilmesini, dolayısı ile bu jeotermal sistemin oluşumunun verilerle gösterilmesi amaçlanmıştır.

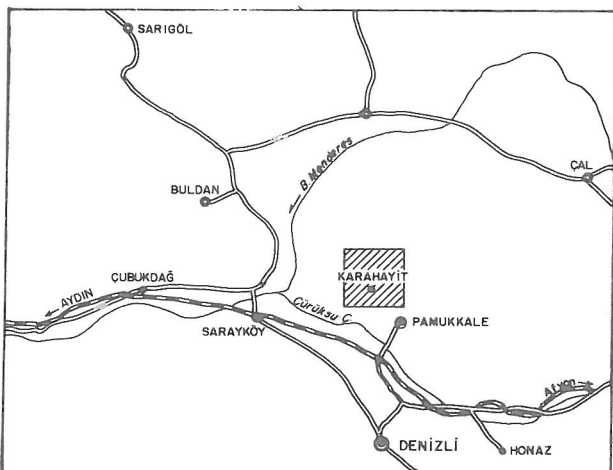
Bir jeotermal sistemin oluşumunda ısı kaynağı, dolayısı ile, eğer orijini volkanik ise volkanik kayanın niteliği ve yaşı, ısınarak yükselen jeotermal akışkanın içinde sirkule ettiği jeotermal sistemin maruz kaldığı su/kaya reaksiyonları önemli rol oynamaktadır. Tabii bu arada ısıtıcı kayanın yaşı da sistemin sıcaklığına etki eden bir faktördür; ısıtıcı yaşı ise sitemden yüksek bir sıcaklık beklemek mümkün değildir.

### JEOLÖJİ

Bölgede görülen en yaşlı birim Paleozoyik yaşlı şist, kuvarsit ve mermerdir. Bu birimin üzerine Pliyosen'in göl çökelleri gelir, en üstte ise geniş alanlar kaplayan travertenler ve aluvyon yer alır (Şekil 2).

### Paleozoyik

Matemorfik şistler (Killi şist, serizit şist, fillit, kuvarsit ve mermer)



Şekil 1. Yerbelduru Haritası  
Figure 1. Location Map

Çok kıraklı olup, Şistoziti gösterirler ve bölgede temeli oluştururlar. Bu birimlerin üzerine mikrokristalin kireçtaşısı ve mermer gelir.

#### Tersiyer

Neojen yaşılı göl çökellerince temsil edilir, bu birimler ise kıl, marn, kum, konglomera ve kireçtaşısı ardalanmasından oluşan bu birimler örtü niteliklidir.

Bölgelerde ayrıca yaygın traverten ve altıvyon bulunur.

#### JEOTERMAL AKIŞKANLARIN JEOKİMYASI

Jeotermal alanı sıcaksu kaynakları ( $23.3^{\circ}\text{C}$  -  $57.5^{\circ}\text{C}$ ), sıcak zemin, gaz çıkışları ve travertenler ile aktif bir sistemin belirticidir.

Table 1 de Pamukkale-Karahayıt jeotermal alanına ait akışkanların kimyasal analizleri verilmiştir. Akışkanların kimyasal özellikleri birbirleri ile orijinleri yönünden benzerlik göstermekte, yani aynı ısı kaynağından yükselen akışkanlar farklı yollar takip ederek yükselmektedirler, yükselen jeotermal akışkanlar farklı oranlarda yeraltısu ile karışmaktadır.

Şekil 3'deki Na, K, Mg, Ca diyagramında yükselen derin kökenli jeotermal akışkanlar yüksek oranda yeraltısu ile karışmaları sonucu soğuyarak sodalı su özelliğini kazandıkları görülmektedir. Şekilde görüldüğü gibi jeotermal akışkanlar  $80^{\circ}\text{C}$  -  $90^{\circ}\text{C}$  arası bir hazne sıcaklığını göstermektedirler.

Şekil 4'deki doygunluk diyagramındaki jeotermal akışkanlar, özellikle yükselserek sıç seviyelere ulaştıktan sonra, düşük seviyelerde kalsit doygunluğuna ulaşmışlardır, bu durum yükselserek yüzeylenen jeotermal akışkanın kireçlenme göstereceğine işaret etmektedir, bu arada sistemin sıç rezervuarındaki sıcaklığı  $60^{\circ}\text{C}$  -  $90^{\circ}\text{C}$  arası bir hazne sıcaklığını göstermektedir.

Şekil 5'deki Cl, SO<sub>4</sub>, HCO<sub>3</sub> diyagramında derin yükselen jeotermal akışkan, yükselm sırasında su/kaya reaksiyonu geçirerek, bikarbonat kazanmış, bu arada arkı seviyelerde oksidasyonu uğrayarak sülfat bikarbonatlı su oluşturmuştur.

Pamukkale-Karahayıt alanı volkanik orijinli bir jeotermal sistem olup soğumakta olan bir volkanik stratigrafi ile karakterize edilmekte ve sistem 2500 yıldır bu soğumasını sürdürmektedir.

#### PAMUKKALE-KARAHAYIT JEOTERMAL ALANI SICAK SULARINDA BULUNAN GAZLARIN JEOKİ MYASAL ÖZELLİKLERİ

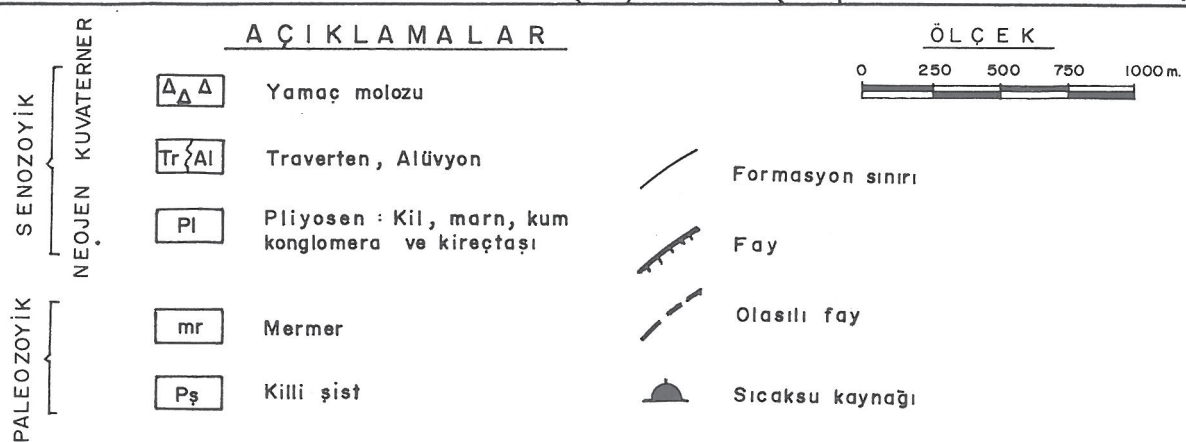
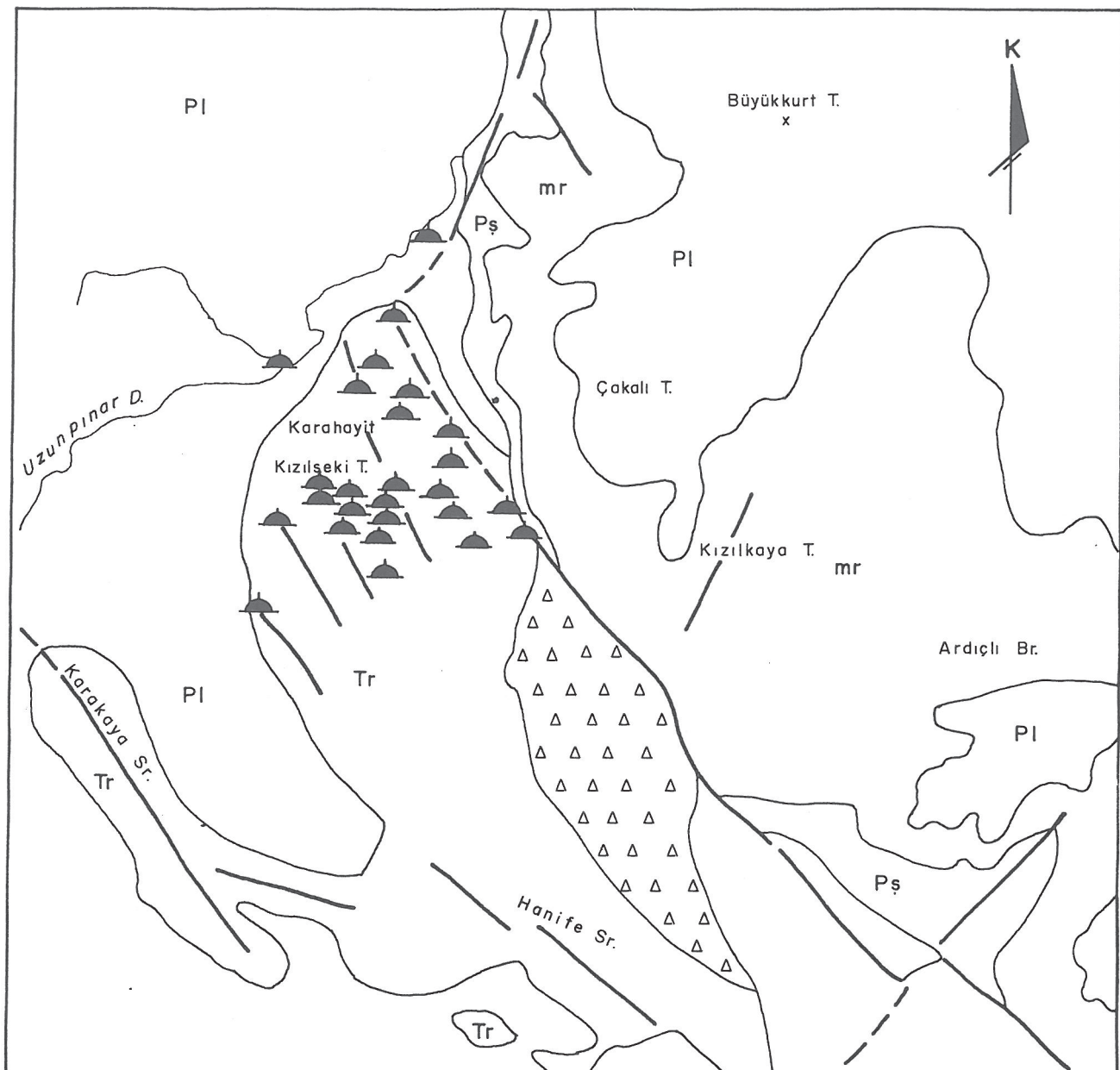
Pamukkale kaplıcasında bulunan sıcaksu içinden alınan gaz örneklerinin Japonya'da yaptırılan izotop ve asal gaz ölçüm çalışmaları sonucunda bu gazların çoğunlukla CO<sub>2</sub> bileşiminde oldukları ve asal gazlar da içerdikleri anlaşılmıştır. Bu gazlara ait değerler ise :Sıcaklık =  $35^{\circ}\text{C}$ ,  ${}^3\text{He}/{}^4\text{He} = 5.05 \pm 0.15$ ,  ${}^4\text{He}/{}^{20}\text{Ne} = 12$ , C ( ${}^4\text{He}$ ) (ppm) = 13,  ${}^4\text{He} = 19$ ,  ${}^{20}\text{Ne} = 0.50$ ,  ${}^{36}\text{Ar} = 1$ ,  ${}^{84}\text{Kr} = 1.6$ ,  ${}^{132}\text{Xe} = 1.9$  dir (mmol / mol).

Bilindiği gibi helyum izotop oranları yeryüzünde gazlarını kökeni belirlemeye kullanılmaktadır.  ${}^3\text{He}$  izotopu ilksel kökenli olup, dünyanın oluşumu sırasında manto içinde hapsolarak kalmıştır. Şayet yeryüzünde herhangi bir bölgede  ${}^3\text{He}$  kapsamı fazla ise, içinde bulunduğu gazlarla birlikte mantodan taşınmış demektir.  ${}^4\text{He}$  izotopu ise uranyum ve toryum izotoplarının parçalanmasıyla oluşmaktadır. Radyoaktif U ve Th, kıtasal kabukta mantodan daha fazla bulunduğuundan,  ${}^4\text{He}$  izotopu da kıtasal kabukta mantodan çok daha fazla miktarda bulunmaktadır. Böylece  ${}^3\text{He}/{}^4\text{He}$  oranı, mantoda ve manto ile ilişkili olan okyanus ortası sırtlar, sıcak noktalar ve ada yayalarında, kıtasal kabuktan çok daha yüksek olmaktadır. Atmosferde ise bu oran sabit olup manto ile kabuk değerleri arasında bulunmaktadır. Craig ve Lupton(1981) ile Sano ve Wakido [1985] gibi araştırmacılar bu oransallıkların standart olarak çeşitli ortamlardaki ortalama değerlerini vermektedirler:

	${}^3\text{He} / {}^4\text{He}$	${}^4\text{He} / {}^{20}\text{Ne}$
Atmosfer	$1.4 \times 10^{-6}$	0.32
Manto	$1.1 \times 10^{-6}$	1000
Kabuk	$3 \times 10^{-8}$	1000

Manto kökenli He nin kabuga taşınması, genellikle magmatik eriyikler vasıtasi ile sağlanmaktadır. Ayrıca  ${}^4\text{He}/{}^{20}\text{Ne}$  oransallığı da önemli olup, köken belirlemeye işe yaramaktadır.

Pamukkale sıcaksu kaynağı içindeki gazların  ${}^3\text{He}/{}^4\text{He}$  oranı Batı Anadolu'da ölçülen değerlerin en yükseğidir (Ercan ve dig., 1994). Şekil 6 daki diyagramda işaretlenen bu değer bize bu sistemde manto kökenli He gazının bulunduğu kanıtlamaktadır. Batı Anadolu'da Kuvaterner yaşılı genç bazaltik volkanizmanın bulunduğu Kula alanında bile bu kadar yüksek He izotop değeri bulunmamaktadır. Pamukkale batisında yeralan Tekkeköy kaplıcasındaki sıcak sularda da Güleç (1988) izotopsal gaz ölçümü yaparak yüksek değerler elde etmiş ve orada da manto kökenli helyumun varlığına işaret etmiştir. Böylece Denizli bölgesindeki sıcak sularda manto kökenli ve kabuk kökenli helyum

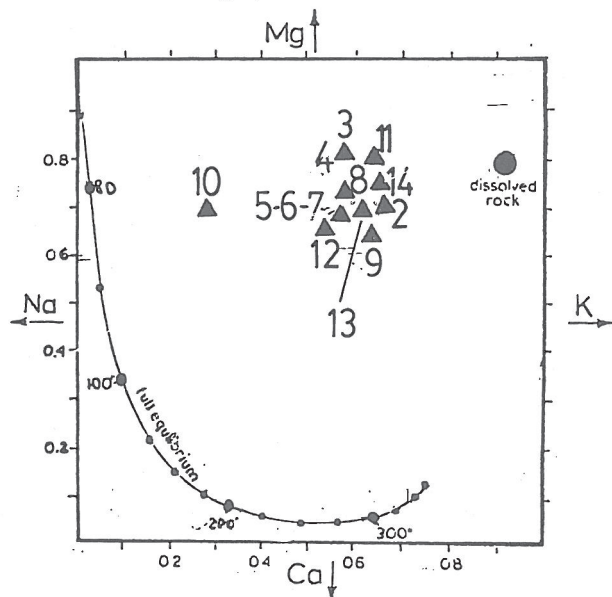


Şekil 2. Karahayıt (Denizli) Alanının Jeoloji Haritası.  
Figure 2. Geological Map.

No	Yer (location)	K	Na	Ca	Mg	B	SiO <sub>2</sub>	HCO <sub>3</sub>	SO <sub>4</sub>	Cl	°C
1	Uzunpınar (soğ.)	0.8	4	85	7	0.1	26	207	37	9	10
2	Çavdar Pans	22	120	474	127	1.9	62	1165	909	29	48
3	Maliye sond	22	140	375	122	1.9	49	866	984	49	56
4	Doga Rest	4	23	107	33	0.2	58	378	115	15	26.1
5	Lafonten motel	23	120	408	116	1.9	75	1049	922	30	55.5
6	Kızılselvi T.	22	130	478	119	1.9	64	1171	946	31	46
7	Kırmızı su	22	120	459	124	1.8	62	1232	918	29	51.2
8	Interoni	22	130	377	122	0.1	61	805	893	30	49.7
9	Doğa Rest (sond)	6	30	271	54	0.1	60	1013	87	19	56.1
10	Gülemezli	27	580	419	109	0.1	283	1416	1645	88	49.6
11	Yeşildere	26	140	262	110	1.9	64	555	1010	39	23.3
12	Pamukkale	5	39	430	87	1.4	22	1080	660	16	39
13	Pamukkale kuz	21	120	430	110	2.9	31	1170	820	35	35
14	Kızılseki KB	22	120	360	120	2.2	32	850	960	32	37

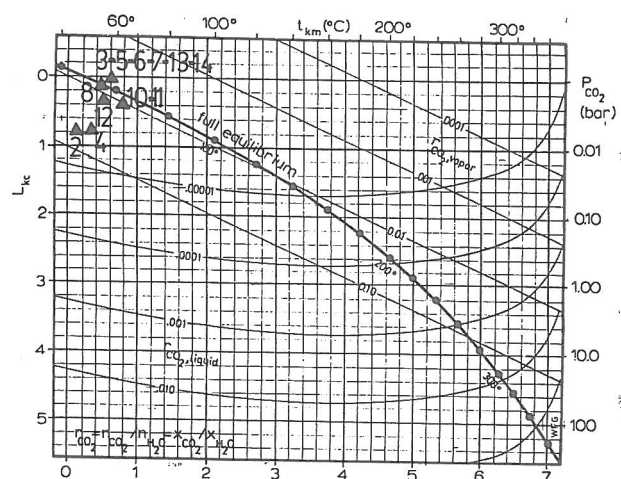
Tablo 1. Pamukkale-Karahayıt jeotermal alanından alınan suların kimyasal kompozisyonu (konsantrasyon mg/l cinsinden)

Table 1. Chemical composition of waters collected from Pamukkale-Karahayıt Geothermal area (concentrations in mg/l)



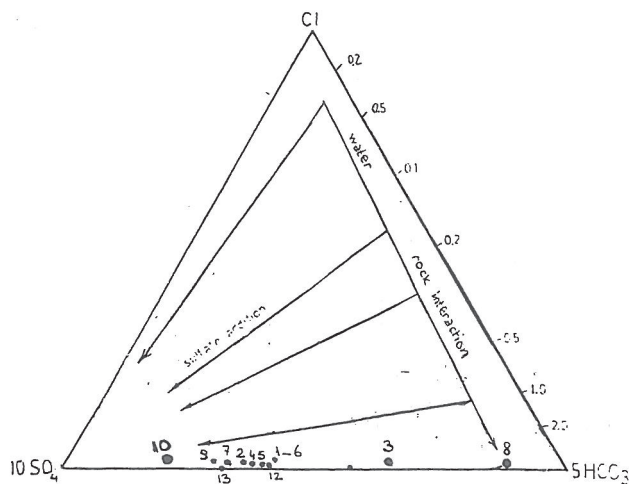
Şekil 3. Pamukkale - Karahayıt Jeotermal alanı akışkanlarına ait Na, K, Mg, Ca Diyagramı.

Figure 3. Na, K, Mg, Ca Plot of the Pamukkale-Karahayıt Geothermal area hot waters.



Şekil 4. Pamukkale-Karahayıt jeotermal alanı akışkanlarına ait doygunluk diyagramı.

Figure 4. Equilibrium plot of Pamukkale-Karahayıt fluids



**Şekil 5.** Pamukkale - Karahayıt jeotermal alanına ait  $\text{Cl}$ ,  $\text{SO}_4^2-$ ,  $\text{HCO}_3^-$  diyagramı.

**Figure 5.**  $\text{Cl}$ ,  $\text{SO}_4^2-$ ,  $\text{HCO}_3^-$  plot of the Pamukkale-Karahayıt geothermal area hot spring.

katılımının varlığı saptanmış olmaktadır. Batı Anadolu'da helyumun mantodan kabuğu taşınması olasılıkla bölgede derinlerde soğumakta olan yaygın bir plutonun varlığı ile açıklanabilemektedir.

Pamukkale sıcaksularındaki gaz örneğindeki Ne, Ar, Kr, Xe asal gaz kapsamları ise soğuk suda erimiş atmosferik doğal gazların elemental kapsamlarını içerektedir, bu ise sistede yükselen derin kökenli akışkana metaorik soğuk su katilinin varlığını göstermektedir.

Pamukkale sıcaksularındaki gazların  $\text{CO}_2$  kapsamlarının karbon izotopik oranları ( $^{13}\text{C}/^{12}\text{C}$ ) de ölçülmüş ve  $213\text{C} = -3.5$  olarak bulunmuştur. Karbon izotopik oransallığı da gazların kökenini belirlemeye yardımcı olmaktadır. Ölçülen bu değerler bize Pamukkale sıcaksularında bulunan  $\text{CO}_2$  gazının organik kökenli olmayıp denizel karbonatlı kayaçların metamorfizması ve/veya manto kökenli olarak meydana geldiğini ve organik kökenli olmadığını göstermektedir.

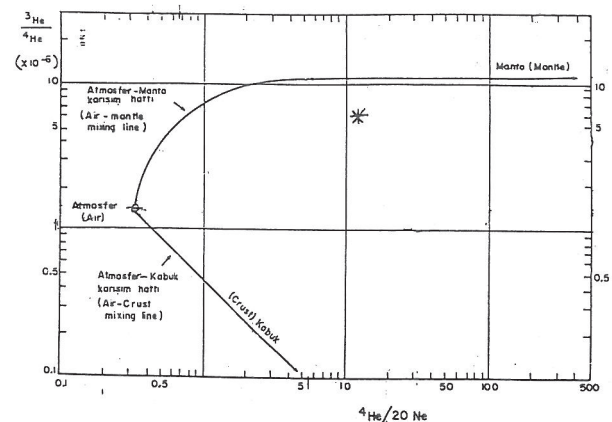
Böylece Denizli bölgesi sıcaksularındaki gazlar da yapılan izotopsal çalışmalarla, bölgenin jeotermal açıdan olumlu özellik taşıdığını, mantodan gaz katılımının sürdürünü ve halen derinlerde sorgulamakta olan birbir sistem tarafından karakterize edildiği ortaya çıkarılmıştır (Ölmez ve Ercan, 1955; Ercan ve dig., 1955).

## SONUÇLAR

-Temel kayaçları (şist, mermer) rezervuar, bunu örten genç birimler (kil, marn, kum, konglomera ve kireçtaş) örtü niteliklidir.

-Kimyasal ve izotopik verilere göre hidrotermal konveksiyon sistemini oluşturan ısıtıcı yaşlı bir volkanıdır,

-Sistemde belli yol katederek faylarla



**Şekil 6.** Pamukkale sıcaksu kaynağına ait gazın helyum izotopik oranı.

**Figure 6.** Helium isotopic ratio of Pamukkale hot spring.

yüzeylenen akışları, bu arada farklı oranlarda soğuksu ile karışmaktadır,

-Yapılacak sig sondajlarda yüksek kireçlenme beklenmektedir, derin sondajlarda ise mermer seviyeleri izole edilme koşulu ile (1500-2000 m.) açılacak kuyular dan  $80^\circ\text{C}$ - $90^\circ\text{C}$  sıcaklıklarda akışkan beklenmektedir,

-Jeotermal sahadan çıkarılacak akışkan sera, turistik amaçlar ve sera ısıtmacılığında kullanılabilir cektir.

## DEĞİNİLEN BELGELER

Craig, H. ve Lupton, J. 1981 : Helium-3 and mantle volatiles in the oceanic crust. The sea, v.7, the oceanic lithosphere, John Wiley and sons, 391-428.

Ercan, T., Matsuda, J. I., Nagao, K. ve Kita, I. (1994) : Anadolu'daki sıcak sularda bulunan doğal gazların izotopik bileşimleri ve karbondiosid gazının enerji açısından önemi. Türkiye 6. Enerji Kongresi Teknik oturum bildirileri kitabı I, 197-207.

Ercan, T., Ölmez, E., Matsuda, I. J., Nagao, K. ve Kita, (1995) : Kuzey ve Batı Anadolu'da sıcak ve ce menerize sular ile icerdikleri gaezlerin kimyasal ve izotopik özelliklerini. Türkiye Enerji Bülteni 2 (Baskıda).

Giggenbach, W. F. ve Glower, R. B., 1992, Tectonic regime and major processes governing the chemistry of water and gas discharges from the Rotorua Geothermal Field, NZ. Geoth, 21, 1/2, 121-140.

Gülenç, N., 1988, Batı Türkiye'de Helyum-3 dağılımı. MTA Dergisi 108, 98-105.

SANO, Y. ve Wakita, H. 1985, Geographical distribution of  $3\text{He} / 4\text{He}$  ratios in Japan; implications for arc tectonic and incipient magmatism. Jour. Geoph. res, 90, 8720-8741.

## AMASYA-AĞİLÖNÜ KAYNAĞININ HİDROJELOJİSİ, KAYNAĞIN GELİŞTİRİLMESİ VE SUNİ BESLENİM OLANAĞININ İNCELENMESİ

Uğur AKDENİZ

Devlet Su İşleri Genel Müdürlüğü, Jeoteknik Hizmetler ve Yeraltı Suları Dairesi, Ankara

**ÖZ :** Etüt sahası Amasya-Merkez Ağılönü köyü çevresini kapsamaktadır. Sahada Paleozoyik, Mesozoyik ve Senozoyik yaşı formasyonlar bulunmaktadır. Karstlaşma ve karstik oluşuklar Jura-Kretase yaşı kireçtaşlarında görülmektedir.

Bölgelerde hüküm süren iklim Karadeniz iklimiyle, İç Anadolu iklimi arasında bir geçiş özelliği göstermektedir ve her iki iklimden taşımaktadır.

Ağılonü kaynağını geliştirmek ve karstlaşmanın durumu ile yeraltısuyu akım yönünü belirlemek amacıyla 46885 ve 46885-R nolu karst araştırma kuyuları açılmıştır. Kuyulardan elde edilen verilere göre, karstik sistemden sulama periyodu süresince 100 l/s su çekilebileceği tespit edilmiştir. Karstik sistemi suni olarak beslemek mümkün olup, 214717 m<sup>3</sup>/yuk suyun karstik rezervuara katkısı söz konusu olacaktır.

**ABSTRACT :** The investigation area covers Amasya-Ağılönü village and its vicinity. Formations of Paleozoic, Mesozoic and Cenozoic crop out in the area.

The climate predominant in the region shows a transition between Central Anatolia and Black Sea, carrying the characteristics of both climates.

Wells 46885 and 46885-R have been drilled for the development of Ağılönü (Gerne) spring and as well as to determine the direction of the groundwater flow and the karstification. According to the data provided from the exploration drillings. 100 l/s of groundwater can be withdrawn from the karst system can be recharged artificially, as a result an amount of 214717 m<sup>3</sup>/year water may be supplied from the karst reservoir.

### GİRİŞ

Çalışma sahası Amasya il merkezinin 40 km batısında, Geldingen ovası ile Suluova arasında yeralan dağ silsilesi üzerindeki Ağılönü (Gerne) köyü ve civarıdır (Şekil 1).

Amasya-Ağılonü (Gerne) köyünde karstik özellikli Jura-Kretase yaşı allokton kireçtaşları ve bunlardan çıkan Ağılönü kaynağı bulunmaktadır. Bu çalışma, Ağılönü kaynağının hidrolojik incelenmesi ile karstik kireçtaşlarındaki yeraltısuyu dolaşımının araştırılarak emniyetli yeraltısuyu rezervinin tahmin edilmesi ve kaynağın suni beslenmesi olanağının etüdü amacıyla yapılmıştır.

### JEOLOJİ

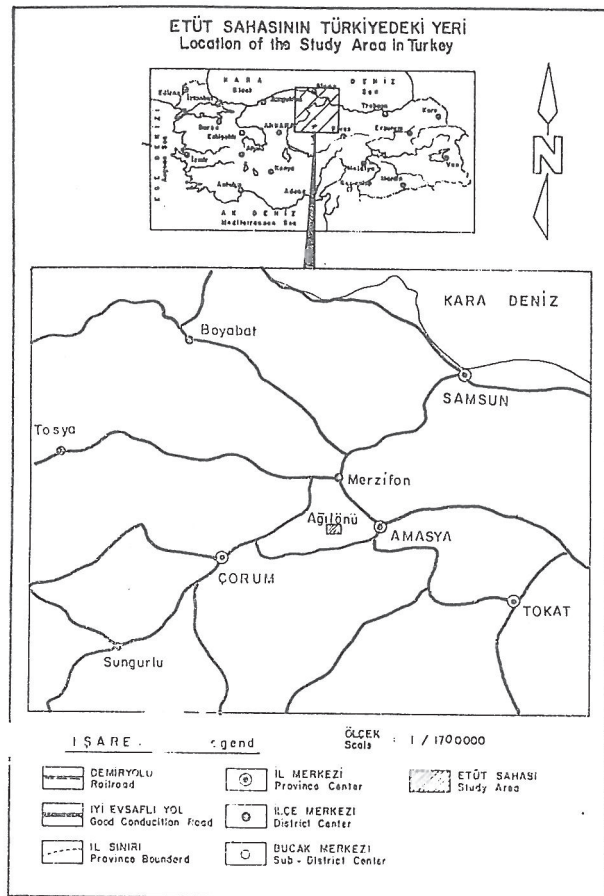
Yörede yapılan araştırmaları ve daha önceki çalışmaların da gösterdiği gibi stratigrafik birimleri "Otokton" ve "Allokton" olmak üzere iki bölümde toplamak mümkündür. Jura-Kretase yaşı kireçtaşları allokton kayaçları temsil eder. Diğer formasyonlar otoktondur (Şekil 2).

### Metamorfik Kayaçlar (Paleozoyik)

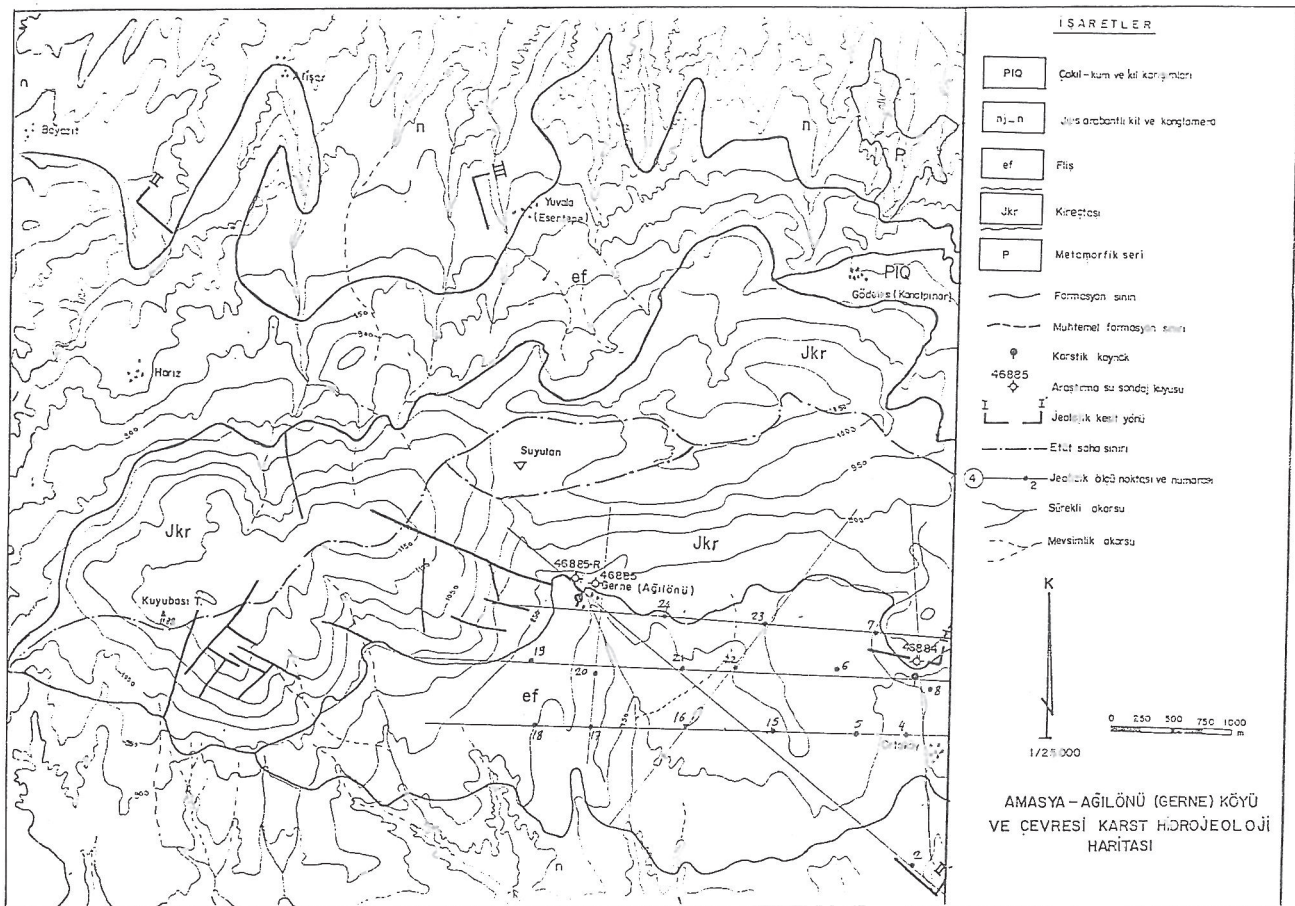
Amasya çevresinde ve etüt sahasında temeli oluşturan metamorfik seri, yeşil şistler ve fillatlıdan meydana gelmektedir. İçlerinde yer yer mermer bloklarına rastlanmaktadır.

### Kireçtaşı (Jura-Kretase)

Metamorfik temel üzerine allokton olarak yerleşmişlerdir. Literatüre Amasya kireçtaşları olarak



Şekil 1. Etüt Sahasının Türkiye'deki Yeri  
Figure 1. Location of the Study Area in Turkey



**Figure 2. Karst Hydrogeological Map of Amasya-Ağılönü village and its Vicinity**

geçmişlerdir. Amasya'dan başlayarak Çorum-Mecitözü yönünde batıya doğru bir dağ silsilesi halinde uzanırlar. Kirli beyaz ve grimsi renkli olup, yer yer tabakalıdır. Sahanın Kuzey Anadolu Fayına yakınlığı sonucunda kireçtaşlarında kırık ve çatlak sistemleri gelişmiştir.

#### Vulkano-Tortul Seri, Fliş (Eosen)

Tabanda konglomera ile başlayan bu seri kumtaşı-arn kumlu kireçtaşları ve ara katki halinde andezitik lav, tuf, aglomera seviyelerinden oluşur. Bu seride ait kumlu kireçtaşları içinde bol nummulites fosili bulunur. Yaklaşık 10-15 derecelik eğimle güney-batıya dalar. Genelde eski masiflerin eteklerinde ve çukurluklarda birikmiştir.

#### Tortul Seri (Neojen)

Konglomera, kil ve kumlu seviyelerden meydana gelmiştir. Killi seviyeler jips bantları içermektedir. Bu serinin üst seviyelerinin altıyon dolgu malzemesi ile ayrimı çok zordur.

Etüt sahasında çeşitli dönemlerde meydana gelen orogenik hareketler etkili olmuştur. Bunun sonucu genelde doğu-batı doğrultulu faylar oluşmuştur. Bölgenin Kuzey Anadolu Fayına yakınlığı ve bu fayın

**Figure 2. Karst Hydrogeological Map of Amasya-Ağılönü village and its Vicinity**

halen etkin oluşu yapısal unsurları önemli hale getirmiştir. Bunun sonucunda Jura-Kretase yaşı kireçtaşlarında kırık ve çatlak sistemleri gelişmiştir.

## KARST HİDROJEOLOJİSİ

### İklim

Bölgede hüküm süren iklim, Karadeniz kıyı iklimiyle İç Anadolu kara iklimi arasında geçiş özelliği gösterir. Yüksek rakımlı yerler hariç, coğulukla kuşlarılık, yazlar sıcaktır. Amasya iline ait 37 yıllık yağış ortalaması 411,6 mm dir. Etüt sahasına yakın olan Doğantepe yağış istasyonun 22 yıllık yağış ortalaması 392,5 mm dir. Netice olarak Doğantepe yağış istasyonun değerleri ile Amasya yağış istasyonun değerleri incelendiğinde benzer yağış rejimi içerisinde bulunduğu görülmektedir.

Ağılönü kaynağının drenaj alanına düşen yağışın Doğantepe yağış istasyonuna düşen yağışla uygunluk gösterdiği kabul edilmiştir. Yüksekliğin yağışla değişimi  $P_d = Po + 0.54h$  formülüyle hesap edilerek Ağılönü kaynağının beslenim alanına düşen yıllık yağış 650 mm olarak bulunmuştur.

$P_d$  = Drenaj alanına düşen yağış (mm)  
 $P_o$  = Doğantepe ortalama yıllık yağışı (mm)  
 $h$  = Yağış alanları arasındaki kot farkı (m)

### Kaynaklar ve Sondaj Kuyuları

Etüt sahasında çoğunuğu kireçtaşlı-fliş dokonağından çıkan kaynaklar mevcut olup, Ağılönü kaynağı da bunlardan birisidir.

1) Ağılönü (Gerne) kaynağı : Ağılönü köyü caminin altından 818,5 metre kotundan çıkmaktadır. Ölçülen aylık debi değerlerine göre en düşük değer 9 1/s ile Şubat - 1993 yılında, en büyük değer ise 113 1/s ile Mayıs-1984 yılında tespit edilmiştir. Debi ölçümleri süresince ortalama akım 42,7 1/s olmuştur. Debi ölçümleri aşağıda verilmiştir.

TARİH	DEBİ (1/s)
23/03/1978	52
10/04/1978	88
24/05/1978	103
12/06/1978	76
19/07/1978	40
22/08/1978	22
27/09/1978	26
10/10/1978	38
07/11/1978	52
20/12/1978	21
19/01/1979	25
15/02/1979	54
20/03/1979	31
19/04/1979	29
15/05/1979	27
21/06/1979	24
31/07/1979	12
14/08/1979	22
18/09/1979	12
24/10/1979	14
20/11/1979	11
25/12/1979	41
22/01/1980	35
21/02/1980	66
11/08/1983	23
24/10/1983	35
14/11/1983	35
11/01/1984	35
08/02/1984	20
28/02/1984	49
20/03/1984	47
04/04/1984	52
15/05/1984	113
12/06/1984	105
27/07/1984	27
13/09/1984	34
19/01/1985	38
12/02/1985	31
08/05/1985	83
11/11/1985	10
25/02/1993	9

07/04/1993	98
21/07/1993	53
17/08/1993	56
09/11/1993	16
14/12/1993	85

2) Diğer küçük debili kaynaklar : Esentepe köyünün üst kotlarında kireçtaşlarından boşalan 3-5 1/s lik kaynaklar mevcuttur.

Ağılönü kaynağının arkasında, kaynakla üçgen oluşturacak şekilde, kaynağı 200 metre uzaklıkta aralarında 300 metre mesafe olacak şekilde karst araştırma amaçlı 46885 ve 46885-R nolu su sondaj kuyuları açılmıştır. Bunlardan 46885 nolu kuyu 150 m, 46885-R nolu kuyu 80 m. derinliktedir. Her iki kuyuda tamamen kireçtaşlı kesilmiştir (Şekil 3).

### Karbonatlı Kayaçlar ve Karstik Oluşuklar

Sağ yönlü, doğrultu atımlı bir tektonik hat olan Kuzey Anadolu Fayı etüt sahasının yakınlarında bulunmaktadır. Kuzey Anadolu Fayının etkileri sonucunda, Jura-Kretase yaşı kireçtaşlarında kırıklı, çatlaklı yapı oluşmuştur. Bu sistem içinde hareket olağanı bulan yüzeyden intikal eden sular karstlaşmayı geliştirmiştir. Karstik kireçtaşlarının boşalım noktalarından biri olan Ağılönü kaynağının hidrolojik incelenmesi sonucunda sahada henüz orta derecede karstlaşma olduğu ve büyük hacimli karst boşluklarının bulunmadığı, daha çok çatlaklı ve erime boşluklu bir karst sisteminin var olduğu söyleyenbilir. Ağılönü kaynağının beslenim alanında küçük bir polje (gölova) ve suytan mevcut olup, civardaki karstlaşmanın önemli özelliklerindendir.

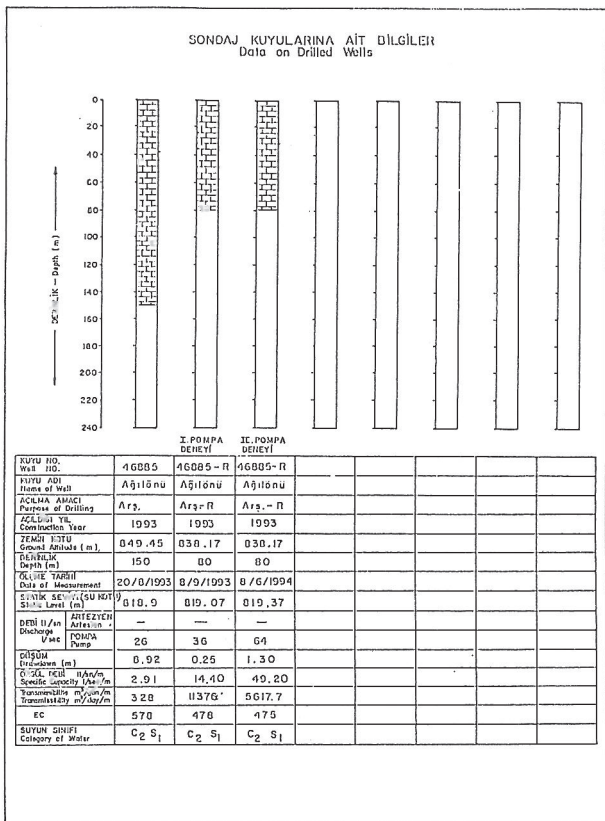
### Karstik Sistemin Hidrolojik Özellikleri

Etüt sahasındaki karstik sistemin en önemli boşalım noktası Ağılönü kaynağı olup, kaynak 818,5 m kotundan çıkmaktadır.

a) Kaynak akımları beslenim alanına düşen yağışla azalıp, coğalmaktadır (Şekil 4). Genel olarak belirtmek gerekirse yağışlar kaynak akımlarında 1-1,5 ay sonra etkisini göstermektedir. Kaynağı besleyen sistem doğrudan doğruya aylık yağışlarla ilgilidir.

b) Kaynağın yarı logaritmik yöntemle baz akımı analizleri yapılmıştır (Şekil 5). Sürekli olarak ölçüm yapılan 1978 ile 1979 yıllarına göre yapılan değerlendirmeler incelendiğinde kaynak rezervuarında boşalım katsayıları sırası ile  $\sigma = 1.7 \times 10^{-3}/\text{gün}$  ve  $\sigma = 8.8 \times 10^{-3}/\text{gün}$  olarak bulunmuştur. Baz akımdaki ortalama değişim değeri % 78 olup, çok değişken debili kaynaktır.

c) Karstik sistemin boşalım katsayısı ( $\sigma$ ), sistemin transmissibilite katsayısına ( $T$ ), depolama katsayısına ( $S$ ) ve büyülüklüğüne (geometrisine) bağımlı olarak değişmektedir. Hesaplanan boşalım katsayılarına göre karstlaşma orta derecede olup, yeraltısu eklemeler, çatlaklar ve karstlaşma orta derecede olup, yeraltısu eklemeler, çatlaklar ve kırık sistemleri içinde hareket etmektedir.



**Şekil 3.** Sondaj Kuyularına Ait Bilgiler  
**Figure 3.** Data on Drilled Wells

d) Ağılönü kaynağının arkasında kaynağa 200 m uzaklıktta ve kaynakla üçgen teşkil edecek şekilde 46885 ve 46885-R karst araştırma kuyuları açılmıştır. Kuyularda yapılan pompa deneyleri sonucunda hesaplanan T (Transmissibilite) değerleri aşağıda verilmiştir.

Kuyu No	Pompaj Debiti (1/s)	Özgül Debi (1/s/m)	T (m <sup>3</sup> /gün/m) (m <sup>3</sup> /day/m)
46885	24,98	2,91	328
46885-R	36	14,4	11376
46885-R	64	49,2	5617,7

#### Karstik Sistemde Yeraltısu Dolaşımı ve Bilançosu

Kireçtaşlarında mevcut olan kırık ve çatlaklı sistemlerine giren yağış, yüzeysel akış suları karsılaşmayı geliştirmiştir. Karstik sistemde yeraltısu akımı KB-GD doğrultulu ana kırık hattı boyunca genelde Ağılönü kaynağına doğru olup, 46885-R nolu kuyunun bulunduğu yer ile kaynak arasındaki hat boyunca alt akımlar şeklindedir.

Herhangi bir yeraltısu rezervuarının genel olarak su bilançosu; Beslenim = Boşalım ± Rezerv değişimidir. Uzun yıllar süresince rezerv değişimi ihmali edildiğinden beslenim miktarı boşalıma eşit kabul edilmektedir. Buna göre bilanço hazırlanırken ölçülebilin boşalımlar yardımıyla beslenimler tahmin edilebilmektedir. Bu durum gözönüne alındığında;

a) Yeraltısu boşalımı : Kireçtaşlarındaki

boşalım Ağılönü kaynağı vasıtası ile olmaktadır. Ağılönü kaynağının 1978 ve 1979 yıllarına ait grafiksel baz akım boşalımı sırası ile ortalama 40 l/s, 19,7 l/s olup, yıllık boşalım aynı yıllara göre  $1,26 \times 10^6 \text{ m}^3/\text{yıl}$  ile  $0,62 \times 10^6 \text{ m}^3/\text{yıl}$  olmuştur. Yarı logaritmik yöntemle hesaplanan baz miktarı 1978 ve 1979 yıllarına göre  $1,64 \times 10^6 \text{ m}^3/\text{yıl}$  ile  $0,84 \times 10^6 \text{ m}^3/\text{yıl}$  dır.

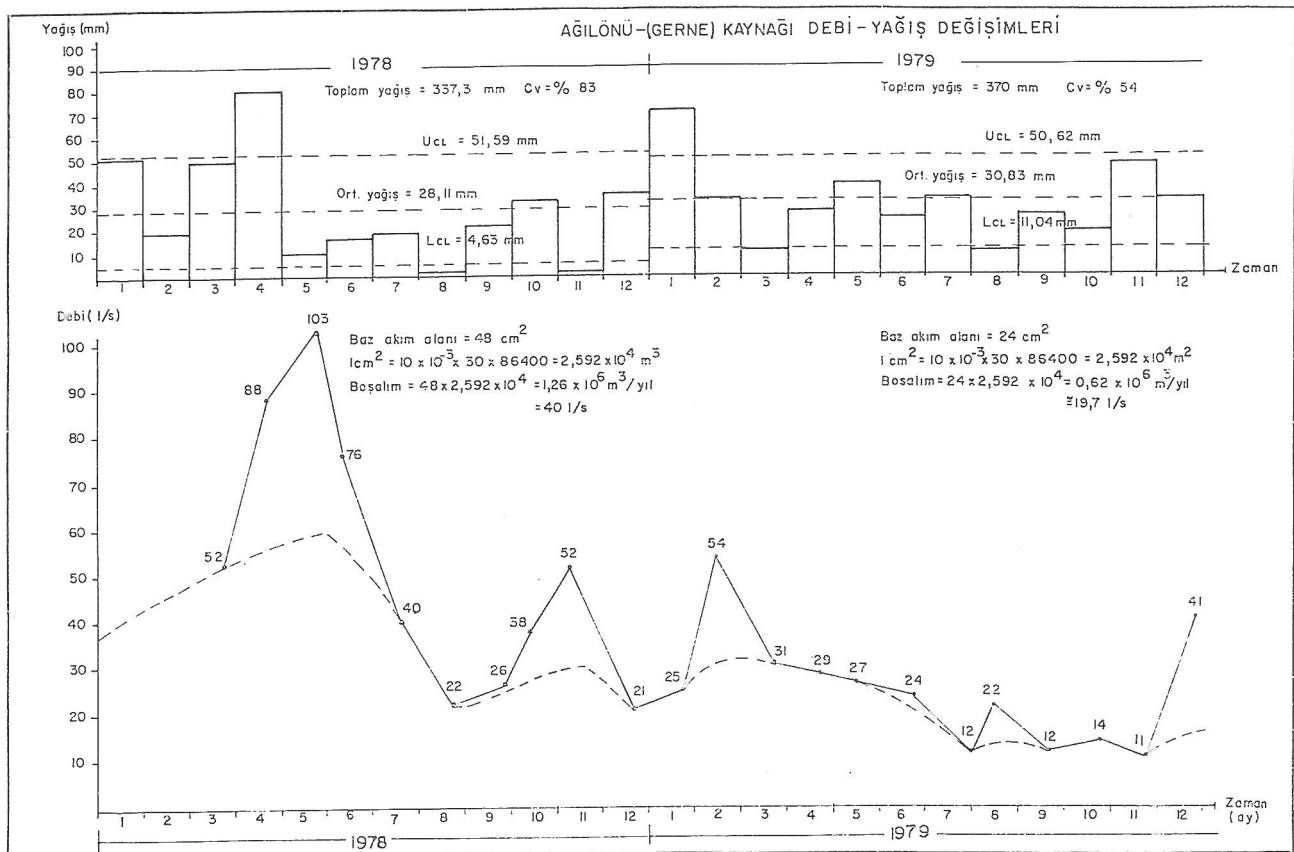
b) Yeraltısu beslenimi : Ağılönü Kaynağını besleyen kireçtaşlarının su bölüm hattına kadar olan alanı yaklaşık  $7 \times 10^6 \text{ m}^2$  civarındadır. Yağıştan süzülme % 35 olarak kabul edildiğinde beslenim  $1,08 \times 10^6 \text{ m}^2/\text{yıl}$  olmaktadır. Hesaplanan bu miktar kaynağın boşalımına eşit veya bazı durumlarda daha azdır. Bu durumda su bölüm hattının diğer tarafından kaynağın beslenimine bir katkı söz konudur. Jeolojik koşullara bağlı olarak 900 metre kotlarında geçirimsiz birimlerle çevrilen kireçtaşları suyunu 818,5 m kotundaki Ağılönü kaynağından boşaltmak zorunda kalmaktadır. Su bölüm hattının diğer tarafından alan yaklaşık  $4 \times 10^6 \text{ m}^2$  olup, bu durumda kaynağın toplam beslenim alanı  $11 \times 10^6 \text{ m}^2$  dir. Bulunan beslenim alanına göre yapılan hesaplama da beslenim miktarı  $1,72 \times 10^6 \text{ m}^3/\text{yıl}$ dir. Elde edilen değerlere göre kaynağın beslenim ve boşalım miktarı yaklaşık olarak birbirine eşittir.

#### Karstik Sistemden Alınabilecek Takribi Su Miktarı

Ağılönü kaynağı karstik sistemin boşalım noktası olup aylık yağışlarla beslenmektedir. Kaynak ölçümüleri ve karst araştırma amaçlı açılan 46885 ile 46885-R nolu kuyulardan elde edilen veriler değerlendirilerek aşağıdaki sonuçlara varılmıştır.

a) Karst araştırma amaçlı olarak açılmış olan 46885 nolu kuyuda statik seviye 30,55 m olup, 26 1/s su çekildiğinde dinamik seviye 12 saat sonra 39,47 m olmuş ve gözlem kuyusu olarak kullanılan 46885 nolu kuyuya ise 250 metre uzaklıkta olan 46885-R nolu kuyuda düşüm meydana gelmemiştir. Bu sefer 46885-R nolu kuyuda 36 1/s su çekildiğinde statik seviyesi 19,10 m olan kuyu 5 dakikada düşüm sabitlenip dinamik seviye 19,35 m olmuş ve gözlem kuyusu olarak kullanılan 46885 nolu kuyuda düşüm görülmemiştir. Bir yıl sonra 46885-R nolu kuyu taranarak genişletilmiş ve 64 1/s çekilerek pompa deneyi yapılmıştır. Deney başlangıcında 18,80 m olan statik seviye 48 saat sonra sabitlenip dinamik seviye 20,10 m olmuş ve 1,30 m lik düşüm meydana gelmiştir. Gözlem kuyusu olarak kullanılan 46885 nolu kuyuda da aynı düşüm değeri olan 1,30 m tespit edilmiştir. Bu verilere göre yeraltısu akımının yoğun olduğu karstik kanal ve sistemi 46885-R nolu kuyunun bulunduğu alan üzerinde gelişmiştir.

b) Bu verilerin işiği altında, Ağılönü kaynağının beslenim alanına yakınlığı ve havzadaki diğer kaynaklardan daha üst kotta bulunması nedeniyle, sulama süresinin 4 ay ve günlük yeraltısu kullanımının 20 saat olarak baz alındığında toplam  $864000 \text{ m}^3$  veya 100 1/s yeraltısu çekilmesi mümkün görülmektedir.



Şekil 4. Ağılönü Kaynağı Debi-Yağış Değişimi

#### AĞİLÖNÜ (GERNE) KAYNAĞININ SUNİ BESLENMESİ

Ağılönü kaynağının beslenim alanında, su bölüm hattı üzerinde yer alan 985000 m<sup>2</sup> lük drenaj alanına sahip küçük bir polye bulunmaktadır (Şekil 6). Polye'den düşen yağışın bir kısmı süzülmekte ve buharlaşmaktadır, kalanı da yüzeysel akışla polyenin güney ucunda bulunan doğal kanal vasıtıyla sistem dışına akmaktadır. Polyenin dışarı akışı engellenerek meydana gelecek göl ile kaynağın suni beslenimi mümkün olacaktır. Oluşturulacak gölün alanı 95000 m<sup>2</sup> ve ortalama derinliği 1,5 metre civarında belirlendiğinden gölün hacmi 142500 m<sup>3</sup> olarak gerçekleşecektir. Bu verilerden hareket ederek kaynağın beslenime katkı yapacak su miktarlarını bulmak için 5 kademeden oluşan hesaplamalar yapılmıştır.

$$\text{Polye Drenaj Alanı (A1)} : 985000 \text{ m}^2$$

$$\text{Göl Alanı (A2)} : 95000 \text{ m}^2$$

$$\text{Göl Hacmi} : 142500 \text{ m}^3$$

$$\text{Polye Drenaj Alanına Düşen Ort. Yıllık Yağış (P)} : 650 \text{ mm}$$

#### 1. Kademe

$$\text{Polye Beslenim Alanı (A)} = A_1 - A_2$$

$$A = 985000 - 95000 = 890000 \text{ m}^2$$

Figure 4. Relation Between Discharge of Ağılönü Spring and Variations in Precipitation.

$$\text{Polye Beslenimi} = AxP$$

$$\text{Polye Beslenimi} = 890000 \times 0,650 = 578500 \text{ m}^3/\text{yıl}$$

#### 2. Kademe

Yüzeysel akıştan göl alanına gelecek su miktarını hesaplamak için yüzeysel akış katsayısının bilinmesi gerekmektedir. Yüzeysel akış katsayısını iklim, topografiya, karstlaşma vs. durumlar etkilemeye olup, katsayı karstik ortamlarda 0,20-0,30 değerleri arasında değişmektedir. Burada yüzeysel akış katsayıısı 0,30 olarak alınmıştır.

$$\text{Yüzeysel A. Göl Alanına G. Su Miktarı} = \text{Polye Beslenimi} * Y.A.K.$$

$$\begin{aligned} Y.A.G.A.G.Su Miktarı &= 578500 \times 0,30 \\ &= 173550 \text{ m}^3/\text{yıl} \end{aligned}$$

#### 3. Kademe

Gölün kapladığı alanın yağıştan besleniminin hesaplanması

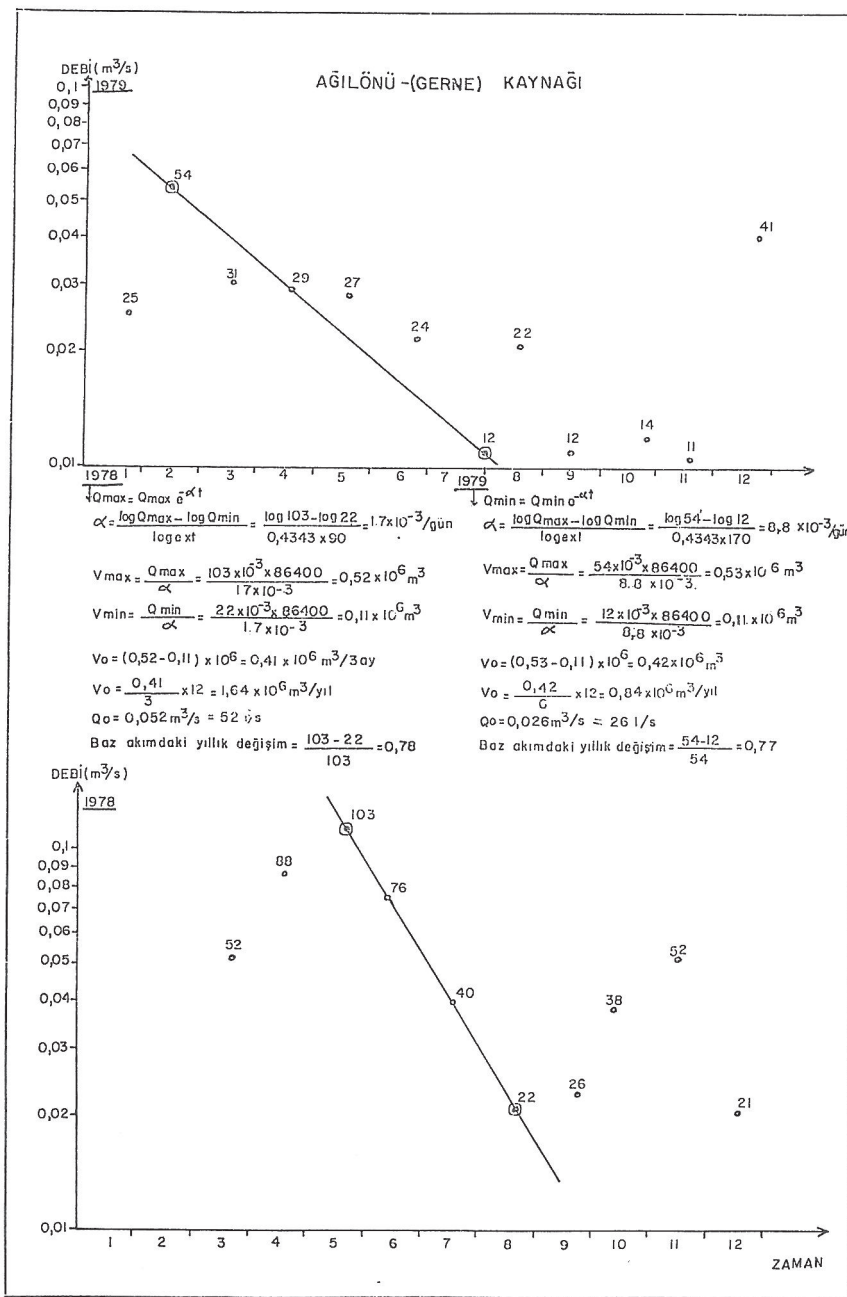
$$\text{Göl Alanının Beslenimi} = \text{Göl Alanı} \times \text{Ort. Yıllık Yağış}$$

$$G.A.B = A_2 \times P$$

$$G.A.B = 95000 \times 0,650 = 61750 \text{ m}^3/\text{yıl}$$

#### 4. Kademe

Göl alanından buharlaşma sonucu meydana gelecek su kaybı



Şekil 5. Ağılönü Kaynağı Baz Akımları Alçalma Eğrisi Analizi  
Figure 5. Determination of Active Volume for Ağılönü Karst spring.

$$\text{Göl A. Buharlaşma Kaybı} = \text{G.A.B.} \times \text{EP}$$

$$\text{G.A.B.K} = 61750 \times 0,30 = 20583 \text{ m}^3/\text{yıl}$$

$$\text{Göl ALanında Kalan Su} = \text{G.A.B-G.A.B.K}$$

$$\text{G.A.K. Su} = 31750 - 20583 = 41167 \text{ m}^3/\text{yıl}$$

$$\text{Y.A.G.S.M+G.S.M+G.A.K.S}$$

$$\text{P.T.S.M} = 173550 + 41167 = 214717 \text{ m}^3/\text{yıl}$$

Polyede tutulacak su miktarını göl hacmine böldüğümüzde gölü yıl boyunca 1,5 defa doldurabilecek kapasitede olduğu görülmür.

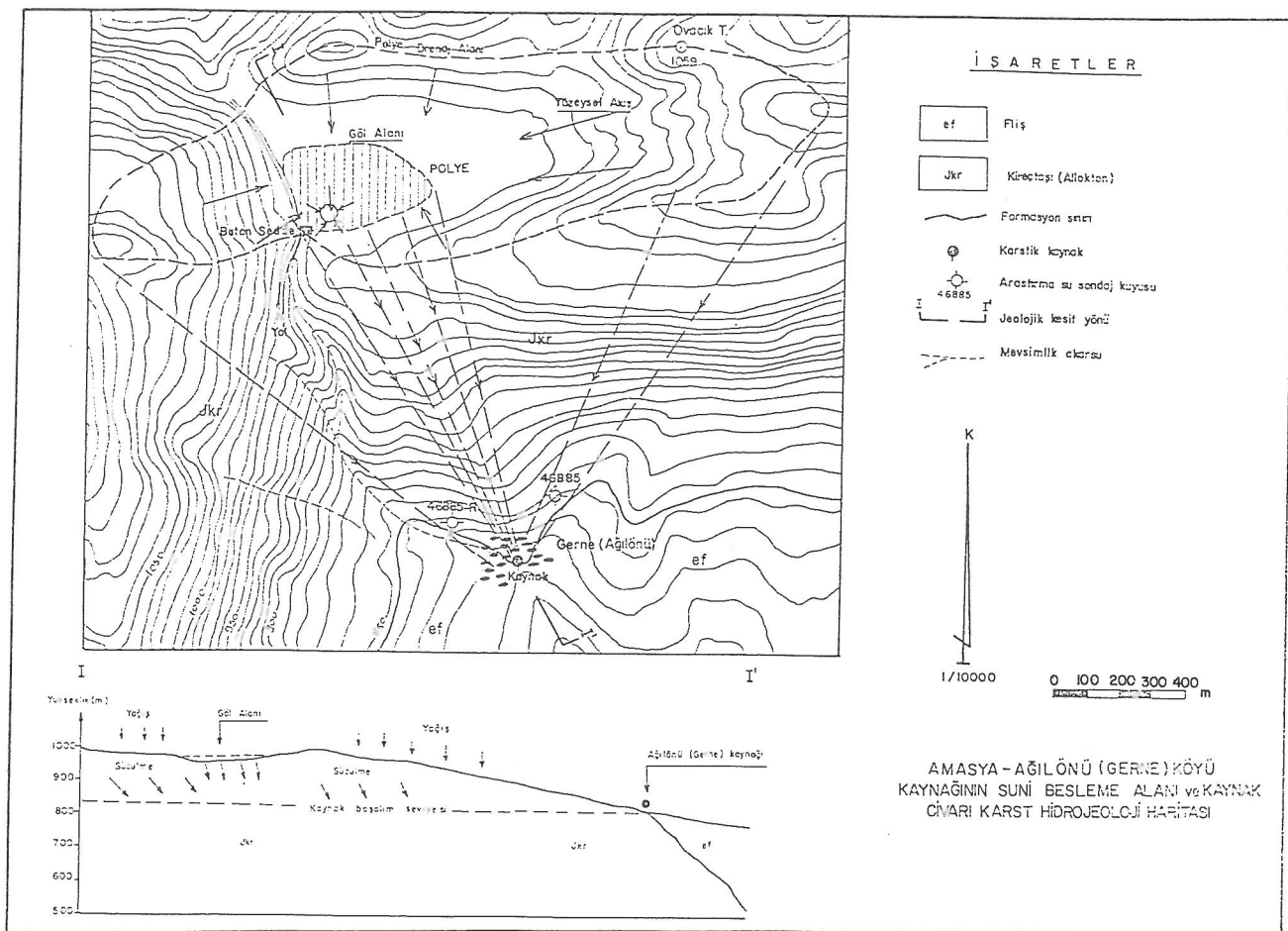
##### 5. Kademe

Yüzeysel akıştan gelen su miktarı ile göl alanında kalan su miktarını topladığımızda polyede tutulacak bir başka deyişle kaynağın beslenimine etki edecek yıllık su miktarı bulunur.

$$\text{Polyede Tutulacak Su Miktarı} =$$

##### SU KİMYASI

Etüt alanının su kimyası çalışmaları etüt sırasında kaynaktan ve sondaj kuyularından alınan su örneklerinin analiz sonuçlarından faydalananlarak yapılmıştır.



**Şekil 6.** Amasya-Ağılönü Köyü Kaynağının Suni Beslenme Alanı ve Kaynak Cıvarı Karst Hidrojeoloji Haritası

Mevcut analiz sonuçlarına göre kaynak ve kuyu suları birbirine benzer özellikte sular olup karbonatlı su özelliği göstermektedir.

- PH değerleri 7,2-7,4 arasında olup, bazik sulardır.
- EC değerleri 475-635 micromho/cm arasında değişmektedir.
- Sodyum ve klorür değerleri arasında dengesizlik mevcuttur. Bu da etüt alanında bulunan suların kısa süreli de olsa killerde teması olduğunu gösterir.
- C2S1 sulama suyu sınıfındadır.

### KARSTİK SİSTEMLİN KİRLENMESİ

Karstik sisteme yeraltısu akımı genel olarak çatlak, eklemler ve büyük hacimli karst yolları içinde olmaktadır. Büyük karst yollarında türbülanslı, ince çatıklarda ise laminer akımlar hakimdir. Karstik sisteme yağış ve yüzeysel akış suları kolayca süzülmektedir. Bu nedenle su noktalarının beslenim alanları kirli atıklardan, mutlaka korunmalıdır.

**Figure 6.** The Artificial Recharge Area Amasya-Ağılönü Village Karst Spring And Karst Hydrogeological Map.

### SONUÇLAR

Ağılönü kaynağının hidrolojik durumu ile karstik sistemin özellikleri incelenerek aşağıdaki değerlendirmeler yapılmıştır.

- Karstlaşma kireçtaşlarında orta derecede gelişmiş olup, kaynak boşalımı aylık yağışlara bağlıdır.
- Kaynağın beslenim alanı doğal su hattı ile sınırlı olmayıp, beslenim alanının büyüklüğünü jeolojik şartlar belirlemiştir.
- Ağılönü kaynağını besleyen karstik rezervuarı geliştirmeye amacıyla açılan karst araştırma kuyularından elde edilen verilere göre, kireçtaşlarında su hareketinin etkin olduğu ana kırık hattı KB-GD doğrultuludur. Bu hatt üzerinde bulunan 46885-R nolu kuyunun transmisibilitesi (T) ve özgül debisi diğer 46885 nolu kuyuya nazaran çok yüksektir.
- Ağılönü kaynağının çıktıığı karstik sistemden sulama peryodu süresince toplam  $864000 \text{ m}^3$  veya  $100 \text{ l/s}$  su çekilmesi ön görülmüştür. Ağılönü kaynağının suni beslenmesi sonucunda  $214717 \text{ m}^3$  lük su miktarında karstik rezervuara eklenecektir.

## İSTANBUL'DA TEMİZ VE PİS SU ŞEBEKELERİNDEN KAÇAKLARIN YERALTISUYUNA VE SU BİLANÇOLARINA ETKİSİ *Effect of leakage from water and sewerage networks on groundwater and water Balance in Istanbul*

Orhan DUMLU İstanbul Teknik Üniversitesi Maden Fakültesi, 80626, İstanbul  
Serdar ORAN İstanbul Teknik Üniversitesi Maden Fakültesi, 80626, İstanbul

**ÖZ:** İstanbul'un su gereksinimi her yıl artmaktadır. Şehre yeterli su sağlamak için yalnız yerel su kaynakları değil, aynı zamanda komşu havzalardan da faydalılmış ve ilave yeni kaynaklar araştırılmıştır.

İSKİ'nin su dağıtımını İstanbul'un her bölgесine ulaşamamakta veya yetersiz kalmaktadır. Bu nedenle halkın açtığı kuyularla yeraltisuyundan faydalananmaktadır. Özellikle yakın geçmişte çok sayıda yasa dışı kuyu açılmış, emniyetli verimin üzerinde su çekilmeye başlanmıştır. Bu çekim teknik personeli rahatsız etmiştir.

İstanbul'da gerek temiz gerekse pis su şebekelerinden yeraltına sızma çok yüksektir. İncelemesi DSİ tarafından tamamlanan önemli ovalarda toplam emniyetli verim  $23 \times 10^6 \text{ m}^3/\text{yıl}$  olarak belirlenirken yalnız temiz su şebekesinden kaçakların  $150 \times 10^6 \text{ m}^3/\text{yıl}$  değerine ulaştığı saptanmıştır. Şehirleşme nedeni ile doğal beslenme azalırken temiz ve pis su şebekelerinden beslenme artmış ve doğal beslenmenin çok üstüne çıkmıştır. Bu nedenle bu il için yapılacak yeraltisuyu bilançolarında şebeke kayıplarının hesabı, klasik yöntemlerdeki yağış, akış, buharlaşma, süzülme değerlerinin hesabından çok daha önemli hale gelmiştir.

Bazı büyük şehirlerde, şebeke kayıpları nedeniyle, yeraltisuyu seviyesi yükselmiş, bazı binaların temellerine ve hatta bodrum katlarına ulaşarak problem yaratmıştır. Yasal bir çözüm bulunmadıkça, yasal olmayan kuyuların kapatılması fayda sağlayacaktır. Fazla su çekiminden dolayı deniz suyu girişimi ile kanalizasyon sızmaların neden olduğu su kalite problemi ise konunun diğer bir cephesidir.

**ABSTRACT:** *The water need of Istanbul increases year by year. In order to supply sufficient water to the city, not only local water resources, but also water resources of adjacent regions used and additional new resources investigated.*

*Water supply of the ISKI does not reach every region of Istanbul or is not adequate. Due to this reason some of people use groundwater by drilling wells. Specially in recent years, many illegal wells are drilled in the city and now groundwater extraction is greater than the estimated safe yield of the city. Because of these many technicians worry about this extraction.*

*It is also known that leakage from fresh water network and sewerage system is very high in this city. Total safe yield of Istanbul is estimated as  $23 \times 10^6 \text{ m}^3/\text{year}$  by DSİ but leakage from only fresh water network is nearly  $150 \times 10^6 \text{ m}^3/\text{year}$ . Because of urban development, (buildings, asphalt roads) natural recharge decreases with time but water need and leakage from water system increase. Today, man-induced recharge from sewerage is greater than natural recharge. Due to this reason, estimation of the leakage from sewerage and fresh water systems in the groundwater budget of this city is getting more important than the estimation of precipitation surface run-off, evaporation, transpiration and total recharge area in classical methods.*

### GİRİŞ

Nüfusun su gereksiniminin karşılanması için genellikle büyük şehirlerde, şehrin mevcut olanaklarına ek olarak, yakın çevrenin su olanaklarından da yararlanmak zorunluluğu ortaya çıkmaktadır. Gelen su miktarı ile orantılı olarak temiz ve pis su şebekelerinden (varsayılmaktır) yeraltına kaçaklar artmaktadır. Çoğu kere büyük şehirlerdeki yapışma (binalar, asfalt

yollar), akiferlerin beslenme alanlarını geçirimsiz hale getirmekte ve akiferlerin doğal beslenimini olumsuz yönde etkilemektedir. Zamanla kaçaklardan beslenme doğal beslenmeyi geçmekte, bilançolarda dikkate alınması gereken en önemli faktör olabilmektedir. Özellikle pis su şebekesinden kaçaklar yeraltisuyu kalitesini etkileyen, yükselen yeraltısı seviyesi binalar ve alt yapı tesisleri için ayrıca problem olabilmektedir.

## SU KAÇAKLARININ YERALTISULARINA ETKİSİ

Büyük şehirlerde, temiz ve pis su şebekesinden kaçaklar; gerek taşınan suyun artması, gerekse şebekede zamanla yıpranmadan doğan kaçınılmaz arızalar nedeni ile yeraltısuyunu besler. Bu ise şu problemleri beraberinde getirir :

1. Pis su şebekesinden sızan sular yeraltısuyu kalitesini bozar ve yeraltısuyunun doğrudan içme-kullanma suyu olarak kullanılmasını öner.

2. Özellikle etkili porozitesi küçük zayıf akiferlerin bulunduğu alanlarda su seviyesinin yükselmesine neden olur. Bu ise kesintili su verilen şehirlerde pis suyun temiz su şebekesine sızmasına olanak sağlar.

3. Seviyenin çok yükselmesi halinde binaların temeline ulaşarak, kuru zemin koşullarına göre planlanmış temellerin taşıma gücünü olumsuz yönde etkiler. Özellikle pis suyun içerisindeki kimyasal maddelerin akiferin permeabilite ve porozitesini etkilemesi bina temelleri ve alt yapı tesislerinde problem yaratır.

Büyük şehirlerde yapılışma (binalar ve asfalt yollar) zamanla, akiferlerin beslenme alanlarını yeryer geçirimsiz hale getirir. Bu ise akiferlerin doğal beslenmesini azaltır. Bunun sonucu zamanla kaçaklardan beslenme, doğal beslenmeden çok fazla olur ve yeraltısuyu bilançolarında en önemli faktör olabilirler.

Konuyu İstanbul ili bazında yeraltısuyu bilançoları hazırlayarak inceleyelim.

## YERALTISUYU BİLANÇOSU

Bu çalışmada inceleme alanı olarak batıda Büyük Çekmece, Çatalca, doğuda İstanbul-Kocaeli İl sınırına kadar olan alan seçilmiştir. Batıdaki Silivri İlçesi için yeterli hidrojeolojik bilgi derlenemediğinden inceleme alanı dışında tutulmuştur.

### Beslenme

#### Temiz ve Pis Su Şebekesinden Beslenme

İnceleme alanındaki içme ve kullanma suyu amaçlı kullanılan barajlarla göllerin hacimleri toplamı  $700 \times 10^6 \text{ m}^3$ . ve İstanbul'a verilen su miktarı  $450 \times 10^6 \text{ m}^3/\text{yıl}$  dolayındadır. Bunun yaklaşık  $1/3$  ü ( $150 \times 10^6 \text{ m}^3/\text{yıl}$ ) temiz su şebekesinden (su tüketiciye ulaşmadan) yeraltına sızmaktadır (Eroğlu, 1994a).

Tüketiciye ulaşan suyun ( $300 \times 10^6 \text{ m}^3/\text{yıl}$ ), belli bir yüzdesi (ortalama % 70) (Linsley ve Franzini, 1964) kanalizasyon veya fosseptik çukurlarına boşalmaktadır. Bu suyunda önemli bir kısmı (özellikle fosseptik uygunlaşması nedeni ile) yeraltısuyunu beslemektedir. Besleme oranı % 60 alınarak :

Kanalizasyondan Beslenme :  $300 \times 10^6 \text{ m}^3/\text{yıl} \times 0.7 \times 0.6 = 126 \times 10^6 \text{ m}^3/\text{yıl}$

Temiz Su Şebekesinden Beslenme :  $150 \times 10^6 \text{ m}^3/\text{yıl}$  ve

Toplam Beslenme:  $276 \times 10^6 \text{ m}^3/\text{yıl}$  olarak tahmin edilmiştir.

Gerçekte, İstanbul'da, özellikle gecekondu mahallelerindeki fosseptik uygulaması nedeni ile yeraltısuyunun atık sularla beslenmesi daha fazla olması beklenir. Ancak İstanbul'da bazı bölgelerde kanalizasyon suları açıktan akmaktır, doğrudan akarsulara, denize veya barajla (Elmalı ve Ömerli Barajı) boşalmaktadır.

#### Doğal Beslenme

İnceleme alanı içerisindeki önemli ovaların DSİ tarafından hidrojeolojik etüdleri yapılmış ve emniyetli verimleri resmi gazetede yayınlanmıştır (Tablo 1).

Bunlara ek olarak bazı münferit incelemeler vardır. İller Bankasının ise Büyük Çekmece dolayındaki etüdlerine rastlanılmıştır. Bu incelemede benzer hidrojeolojik özelliklere sahip İstanbul-Kocaeli arası kıyı ovaları (Kılıç, 1977) örnek alınarak inceleme alanının beslenmesi araştırılmıştır.

OVA ADI	EMNİYETLİ VERİM ( $\text{x } 10^6 \text{ m}^3/\text{yıl}$ )
K.Cekmece-Haliç (Topkapı)	11
İstanbul-Kocaeli Arası Kıyı Ovaları	10 (3.5)*
Terkos-Karacaköy	4
Kağıthane Dereşi	3.2
Pasacıvın	0.66
Çatalca-Yahikavak	0.5
TOPLAM	29.36 = - 30

\* İstanbul İl sınırları içindeki emniyetli verim  $3.5 \times 10^6 \text{ m}^3/\text{yıl}$  dir.

Tablo 1. İnceleme Alanındaki Önemli Ovaların Emniyetli Verimleri

Table 1. Safe Yields of the Important Plains in the Investigation Area

Batıda B. Çekmece- Çatalca doğuda ise Kocaeli il sınırına kadar uzanan inceleme alanı genelinde yüzeyleyen Paleozoyik yaşılı grovak, arkoz, killi sıstler ve Neojen yaşılı kum-çakıllar ile alüvyonlar bu kıyı ovalarında da yüzeylemektedir. Kıyı ovalarında yaklaşık  $45 \text{ km}^2$ 'lik alan kaplayan Triyas yaşılı kireçtaşlarına karşılık, K.Çekmece-Bakırköy havzasında yine verimli ve toplam alanları  $105 \text{ km}^2$  olan Eosen yaşılı kireçtaşları ve Miosen yaşılı Makralı kireçtaşlarına rastlanır.(Fillat, 1959)

Toplam drenaj alanı  $710 \text{ km}^2$  ve beslenmesi  $20 \times 10^6 \text{ m}^3/\text{yıl}$  olan bu kıyı ovalarındaki beslenme örnek alınarak inceleme alanının beslenmesi tahmin edilmiştir. Bunun için öncelikle kıyı ovalarındaki yağış araştırılmıştır.

İSTASYON ADI	YAĞIŞ MIKTARI (mm/yıl)	GÖZLEM SÜRESİ (Yıl)
Göztepe	673	41
Kartal	678	21
Gebze	520	27
Hereke	741	5

Tablo 2. Bölgedeki Yağış İstasyonları, Gözlem Süreleri ve Yağış Değerleri

Table 2. Precipitation Stations, Observation Periods and Precipitation Amounts in the Region.

Buna göre ortalama yağış değeri  $653 \text{ mm/yıl}$  dır. İncelemede bu değer dikkate alınarak beslenme (süzülme) katsayısı yaklaşık % 4 bulunmuştur. Aynı katsayı kullanılarak alanı  $4000 \text{ km}^2$  ortalama yağışı  $700 \text{ mm/yıl}$  olan tüm İstanbul alanları için beslenme  $112 \times 10^6 \text{ m}^3/\text{yıl} = 110 \times 10^6 \text{ m}^3/\text{yıl}$  olarak tahmin edilmiştir.

### Kuyulardan Dönen Su İle Beslenim

Yukarıda belirtilen beslenim yolları ile yeraltısuına katılan suların büyük bir kısmı (bir sonraki bölümde  $474 \times 10^6 \text{ m}^3/\text{yıl}$  tahmin edilmiştir) kuyularla çekilmektedir. Çekilen sular, temiz su şebekesinden gelen sular gibi kullanılıp, tekrar kanalizasyon sistemine verilmektedir. Bu olayın yeraltısuya akım yönünde birkaç defa tekrarı mümkündür. Beslenme kaynakları nedeni ile zaten şüpheli olan yeraltısularının kalitesi, bu tekrarlamalar sonucunda daha da kötüleşmektedir. Bu çalışmada kuyularla çekilen suyun % 50 sinin kullanıldıktan sonra kanalizasyon veya fosseptik çukurlarına verildiği, bunun ise yine % 60 inin yeraltısuya katıldığı varsayılsa bu yolla beslenimin  $142 \times 10^6 \text{ m}^3/\text{yıl}$  olduğu tahmin edilebilir (Kuyularla çekilen su sulama için de kullanıldıktan kanalizasyona dönüşü değeri % 50 alınmıştır.)

### Dolaylı Beslenme

Özellikle kıyı akiferlerinde mevcut akarsuların yakınında açılan kuyular, akarsulardan yeraltısuya beslenme olanaklarını artırır. Bu miktar şehirleşme nedeni ile azalması beklenen doğal beslenmeyi telafi ettiği görüşü ile bilançoya dahil edilmemiştir.

Normal koşullarda, beslenmedeki bu yüksek artışı yeraltı su seviyesinde yükselmelere neden olması beklenir. Nitekim Hac mevsiminde nüfusu çok artan Mekke şehrini su ihtiyacının karşılanması için yakın çevreden kuyu ve kaynaklarla temin edilen suların su şebekelerinden yeraltısına süzülmesi ile aşırı kurak bir iklimde sahip olan bu şehirde drenaj problemi oluşmuştur. Mevcut yeraltı drenaj sistemi ve kuyular bu problemi çözemediğinden bazı binaların temeli su altında kalmıştır. İstanbul'da ise yüksek bir beslenme olmasına rağmen yeraltısuya, genel olarak yükseliş gözlenmemiştir. Hatta yoğun bir yapılaşma görülen bazı sahil ovalarında seviye düşümü devam etmiştir. Bunun nedeni ise yasal veya yasal olmayan kuyuların varlığıdır.

Özellikle son yıllarda İstanbul'da yaşanan susuzluk nedeni ile geniş çapta yeraltısuya kullanımına geçilmiştir. Elde edilen bilgiler İstanbul'da halen çalışan kuyu sayısının 20.000 (keson ve adı kuyular dahil) dolayında olduğunu göstermektedir (Ercan, 1994). Daha önceki akifer özelliğinde olmayan kayaçlar (grovakarkoz), yukarıda dephinilen beslenmeler nedeni ile

zayıfta olsa akifer özelliği kazanmışlardır. Bu kuyuların genelde  $30-120 \text{ m}^3/\text{gün}$  su alınabilmektedir. Kumçakıl ve kalker akiferlerde debi daha yüksektir.

### Boşalma

#### Kuyularla Boşalma

Mevcut çalışan yaklaşık 20.000 üretim kuyusundan ortalama  $65 \text{ m}^3/\text{gün}$  su çekilmesi halinde yılda (365 gün) alınan su miktarı

$$20.000 \times 65 \times 365 = 474 \times 10^6 \text{ m}^3/\text{yıl} \text{ bulunur.}$$

### Kaynaklarla Boşalma

İstanbul'daki önemli kaynak boşalımları (Tablo 3'de verilmiştir.

KAYNAK ADI	DEBI (lt/sn)
Küçük Çekmece-Halkalı (Altışehir) Toplam (10)	45
Maltepe-Kavnarca ve Başbüyük-Kavnarca(10)	5
Ünlu Membə Suları :	10
Sarıyer (Hünkar,Kocatas,Şifa)	
Beykoz (Sırmakes,Karakulak)	
Alemdağ(Tasdelen,Mutevelli)	
Kemerburgaz(Hamidive)	
Düğer Kaynakları :	100
Kemerburgaz (Kırkçeşme)	
Tuzla İçmeler ve Sıvacı Suları	
Maslak (Kanlıkavak)	
Kavaklıdere ve Diğer Küçük Kaynaklar	
<b>TOPLAM</b>	<b><math>160 (5 \times 10^6 \text{ m}^3/\text{yıl})</math></b>

Tablo 3. İstanbul'daki Önemli Kaynak Boşalımları

Table 3. Discharges of Important Springs in Istanbul

### Yeraltından Denize Boşalım ve Buharlaşma

Bilanço dikkate alınarak  $49 \times 10^6 \text{ m}^3/\text{yıl}$  olarak alınmıştır (Tablo 4).

### SU BİLANÇOLARI

#### Genel Yeraltısuya Bilançosu

Yukarıda açıklanan bilgilerle hazırlanan, İnceleme alanına ait Genel Yeraltısuya Bilançosu Tablo 4 de verilmiştir.

BESLENME ( $\times 10^6 \text{ m}^3/\text{yıl}$ )	BOŞALMA ( $\times 10^6 \text{ m}^3/\text{yıl}$ )
Doğal Beslenme	110
Temiz Su Şebekesinden	150
Pis Su Şebekesinden	126
Kuyularдан Dönen	142
<b>TOPLAM</b>	<b><math>528</math></b>
	<b>TOPLAM</b>
	<b><math>528</math></b>

Tablo 4. İnceleme Alanının Genel Yeraltısuya Bilançosu

Table 4. General Groundwater Budget of the Investigation Area

### İnceleme Alanının Genel Su Bilançosu

#### Beslenme

Yaklaşık  $4000 \text{ km}^2$  lik bir alana sahip olan inceleme alanının ortalama yağış değeri, 1991 yılı DSİ Haritalı İstatistik Bülteninde İstanbul-İzmit ve Yalova'yi içine alan Marmara Bölgesi için (Trakya, Balıkesir, Bursa hariç)  $728 \text{ mm/yıl}$  olarak verilmiştir (DSİ, 1991). Bu çalışmada bu değer  $700 \text{ mm/yıl}$  olarak kullanılmış ve yağışla olan beslenim;

$$\text{Toplam Yağış (Y)} = 4000 \times 10^6 \text{ m}^2 \times 0.7 \text{ m/yıl} = 2800 \times 10^6 \text{ m}^3/\text{yıl} \text{ olarak hesaplanmıştır.}$$

## Boşalma

**Akıç ve fazla su :** 1991 yılı DSİ Haritalı İstatistik Bülteninde İstanbul-İzmit ve Yalova'yi içine alan Marmara Bölgesi için (Trakya, Balıkesir, Bursa hariç) ortalama akış  $345 \text{ mm/yıl}$  olarak verilmiştir. Diğer tarafından Penman bilançolarında fazla su miktarı (akışa gecebilecek ve yeraltına süzülebilecek su miktarı) yağış miktarı  $678 \text{ mm/yıl}$  olan Kartal için  $256 \text{ mm/yıl}$ , yağışı  $741 \text{ mm/yıl}$  olan Halkalı için ise  $301.5 \text{ mm/yıl}$  olarak bulunmuştur. Bu çalışmada bu değer  $300 \text{ mm/yıl}$  (fazla su) olarak kullanılmış ve toplam fazla su şu şekilde bulunmuştur.

$$\text{Toplam Fazla Su (A)} = 4000 \times 10^6 \text{ m}^2 \times 0.3 \text{ m/yıl} = 1200 \times 10^6 \text{ m}^3/\text{yıl}$$

**Buharlaşma :** İnceleme alanındaki buharlaşma değeri yağış ile toplam fazla su arasındaki farka eşittir.

$$\text{Toplam Buharlaşma (B)} = Y - A = 1600 \times 10^6 \text{ m}^3/\text{yıl}$$

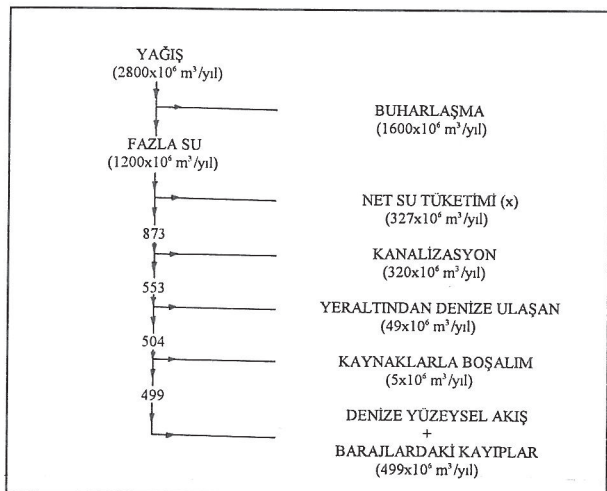
**Net Su Tüketimi :** Su tüketicisine ulaşan suyun ( $300 \times 10^6 \text{ m}^3/\text{yıl}$ ) ortalama % 70'i kanalizasyon veya fosseptik çukurlarına ulaşıyorsa gerçekte tüketilen (kaybolan) su miktarı  $90 \times 10^6 \text{ m}^3/\text{yıl}$  suyun % 50 si kullanıldıktan sonra kanalizasyon veya fosseptik çukurları ile yeniden akifere dönüyorsa net tüketim  $237 \times 10^6 \text{ m}^3/\text{yıl}$  ve toplam net su tüketimi  $327 \times 10^6 \text{ m}^3/\text{yıl}$  olarak bulunur.

Bu bilançolar inceleme alanı için 1994 yılına ait geçici bilançolardır. Zamanla değişeceklərdir. Çünkü Sazlıdere Barajı, Istranca suları, Yeşilçay-Melen projelerinin gerçekleşmesi sonucu şehrə verilen su, dolayısıyla şebeke kayıplarının çoğalması ile bu tip beslenmeler artarken, zamanla şehirleşmenin daha da artması sonucu (bina ve asfalt yollar doğal beslenmeyi olumsuz yönde etkilediğinden), doğal beslenmenin azalması beklenir. Her yıl yaklaşık 1500-2000 kuyunun açıldığı təhmin edilen (Ercan, 1994) İstanbul'da, bu ilave beslenme açılacak yeni kuyularla alınabilir. Aksi halde İstanbul'da (beklenenin aksine) drenaj problemi ortaya çıkabilir. Kısaca İstanbul'da zaman içinde yeraltısuyunun beslenmesine en önemli kaynağı temiz ve pis su şebekelerindeki kaçaklardan oluşacağını söylemek mümkündür. Bunun için bu şehirlerde yapılacak yeraltısuyu bilançoları için sağlıklı kuyu envanterleri, temiz su şebekesine verilen su, temiz ve pis su şebekesinden kayıplar, denize ve veya arıtma tesislerine gönderilen toplam atık su miktarı gibi bilgilere ihtiyaç olacak, klasik yağış, akış, süzülme, drenaj ve beslenme alanlarına dayanan yöntemler ikinci plana düşecektir (Tablo 5) (Şekil 1).

BESLENİM	BOŞALIM
Yağışla Gelen: $2800 \times 10^6 \text{ m}^3/\text{yıl}$	1) Buharlaşma a) Yağış-Akıç: $1600 \times 10^6 \text{ m}^3/\text{yıl}$ b) Net Kullanım: $327 \times 10^6 \text{ m}^3/\text{yıl}$ Toplam: $1927 \times 10^6 \text{ m}^3/\text{yıl}$
	2) Denize a) Yeraltından: $49 \times 10^6 \text{ m}^3/\text{yıl}$ b) Kanalizasyon: $320 \times 10^6 \text{ m}^3/\text{yıl}$ c) Kaynak: $5 \times 10^6 \text{ m}^3/\text{yıl}$ d) Yüzeysel Akış: $499 \times 10^6 \text{ m}^3/\text{yıl}$ Toplam: $873 \times 10^6 \text{ m}^3/\text{yıl}$
Genel Toplam: $2800 \times 10^6 \text{ m}^3/\text{yıl}$	Genel Toplam: $2800 \times 10^6 \text{ m}^3/\text{yıl}$

Tablo 5. İnceleme Alanının Genel Su Bilançosu

Table 5. General Water Budget of the Investigation Area



Şekil 1. İnceleme alanındaki suların dağılımını gösterir şema.

Figure 1. Flow chart of the water distribution in the investigation area.

İSKİ'nin tüketiciye ulaştırdığı suyun ( $300 \times 10^6 \text{ m}^3/\text{yıl}$ ) % 70 inin kanalizasyona ulaştığı, bunun ise % 60 inin yeraltısuya süzüldüğü varsayılmıştır. Bu durumda kanalizasyon sisteminde kalan su  $84 \times 10^6 \text{ m}^3/\text{yıl}$  dır. Aynı şekilde kuyularla çekilen suyun ( $474 \times 10^6 \text{ m}^3/\text{yıl}$ ) % 50 sinin kanalizasyona ulaştığı, bunun yine % 60 inin yeraltısuya süzüldüğü varsayıldıdan kanalizasyon şebekesinde kalan su miktarının yaklaşık  $95 \times 10^6 \text{ m}^3/\text{yıl}$  ve toplam kanalizasyon boşalımının  $179 \times 10^6 \text{ m}^3/\text{yıl}$  olması beklenir. Buna rağmen gerçek kanalizasyon boşalımının  $320 \times 10^6 \text{ m}^3/\text{yıl}$  olmasının nedeni, yağışlı zamanlarda sel sularının belli bir kısmının (bu çalışmaya göre  $141 \times 10^6 \text{ m}^3/\text{yıl}$ ) kanalizasyon sisteme boşalmasıdır. Bu nedenle denize yüzeysel akımla boşalım gerçekte  $499 \times 10^6 + 141 \times 10^6 = 640 \times 10^6 \text{ m}^3/\text{yıl}$  dır. Diğer taraftan  $1.2 \times 10^9 \text{ m}^3/\text{yıl}$  olan toplam fazla suyun  $110 \times 10^6 \text{ m}^3$  yıl'ı yeraltısularına ayrılsa, geriye  $1.090 \times 10^6 \text{ m}^3/\text{yıl}$  yüzey suyu kalır. Bunun  $450 \times 10^6 \text{ m}^3/\text{yıl}'ı$  barajlarla tutulup şehir şebekesine verildiğinde, kontrol edilemeyen yüzey suları yine  $640 \times 10^6 \text{ m}^3/\text{yıl}$  olarak bulunur.

## YAKIN GELECEKTEKİ OLASI GELİŞMELER

Kapasiteleri sırası ile  $56 \times 10^6 \text{ m}^3/\text{yıl}$  ve  $146 \times 10^6 \text{ m}^3/\text{yıl}$  olan Sazlıdere ve Yeşilçay Projelerinin devreye girmesi ile denize yüzeysel akış (sellene) ile boşalım belli oranda azalacak ve yaklaşık  $440 \times 10^6 \text{ m}^3/\text{yıl}$  olacak yeraltısu beslenimi ise artacaktır. Toplamı  $4000 \text{ km}^2$  olan inceleme alanında barajlarla kontrol edilen alan  $2500 \text{ km}^2$ , kontrol edilemeyen alan ise  $1500 \text{ km}^2$  ve kontrol edilemeyen su miktarı  $450 \times 10^6 \text{ m}^3/\text{yıl}$  olacaktır. Bu da yukarıdaki sonucu doğrulamaktadır.

1995 yılı ortalarında devreye girmesi beklenilen Istranca Dereleri ile inceleme alanına ilave  $300 \times 10^6 \text{ m}^3/\text{yıl}$  gelmesi (Eroğlu, 1994b) ayrıca İstanbul için bütün planlanan su kaynaklarının devreye girmesi ile toplam verilebilecek su miktarı  $3.370 \times 10^6 \text{ m}^3/\text{gün}$  ( $1.230 \times 10^6 \text{ m}^3/\text{yıl}$ ) olacaktır (Samsunlu ve Eroğlu, 1991). Bunun sonucunda yeraltısu beslenmesinin artması, yeraltısu seviye düşümlerinin durması, belki de yer yer yükselmesi ve drenaj probleminin oluşması olasıdır. Yedi Tepe üzerinde kurulduğu belirtilen İstanbul'da drenaj probleminin görülebileceği bölgeler, yeraltısunun toplandığı kotu, topografik eğimi, ortamın permeabilitesinin nisbeten düşük, su çekiminin az, yerleşimin yoğun olduğu alanlar olacaktır. Yüksek kotlarda (özellikle su bölüm hatlarında) yeraltısu seviyesi dahi gözlenemeyebilir. Nitekim Levent - Taksim arasında devam eden Metro inşaatında devamlı yeraltısu seviyesi gözlenmemiştir.

## EMNİYETLİ VERİM VE SU KALİTESİ

Sonuç olarak, yeraltısu bilançosu şehre verilen su miktarının bir fonksiyonu olarak değişme gösterecektir. Türkiye'de genel olarak, yeraltısunun emniyetli verimini kontrol için kullanılan "seviyenin değişmesi" kriteri gerçekçi olmayacağındır. Zira emniyetli verim tanımında kullanılan "istenmeyen bir sonuç yaratmadan çekilebilecek maksimum su miktarı" ifadesi ülkemizde, yalnız su seviyesinin düşmesi olarak yorumlanır. Gerçekte ise su kalitesinin bozulmasında istenmeyen bir sonuçtır. İstanbul'da ise, yoğun yerleşim görülen bazı sahil ovaları dışında önemli seviye düşümü gözlenmemektedir. Buna rağmen çekilen suyun kalitesinin tekrar tekrar kullanılması nedeni ile devamlı kötüleştiği kesindir. Bu konuda çalışmaları bulunan bir araştırmacı bir panelde İstanbul'da yoğun yerleşim bulunan alanlarda kuyularla alınan suyu "seyretilmiş idrar" olarak tanımlamıştır (Luri, 1993). Aynı toplantıda bir başka Çevre Uzmanı, İstanbul'da derin kuyularda da insan dışkısına rastlandığını belirtmiş, biolojik arıtma uygulansa dahi yeraltısunun tekrar eski kalitesine ulaşmasının çok güç olduğunu ifade etmiştir. Yukarıda verilen bilançolar da yeraltısunun kanalizasyon suları ile beslenliğini göstermektedir.

Kıyı ovalarında gözlenen fazla su çekimi ve seviye düşümleri ayrıca su kalitesini de etkilemiştir. İstanbul-İzmit arası kıyı ovalarının 1967 de yapılan hidrojeolojik incelemelerinde kullanılabılır kalitede bir kısım sular 1974'de aynı alanlarda yapılan inceleme sonucu, denizden karaya deniz suyu girişimi nedeni ile kullanılamaz hale geldiği gözlenmiştir (Kılıç, 1977). Benzer şekilde Bakırköy havzasında maktralı kalker akifer aynı nedenlerle tuzlanmıştır. Aynı havzadaki Sarmasiyen kum akiferi ise fazla su çekimi ile pratik olarak kurumuştur. Küçük Çekmece-Halkalı civarındaki kaynak grubu (Altışehir), civarındaki çöplükler nedeni ile kirlenmiş, aynı çöplükler yeraltısu ile beslenen Küçük Çekmece gölünün su kalitesini de etkilemiştir.

Halen temiz sayılabilen akiferlere Şile-Ağva, Terkos Gölü - Kilyos ve Kemerburgaz civarında rastlanılmaktadır. Bu nedenle İSKİ su temini için yeni kuyuları Şile civarında açmaktadır. Ayrıca Terkos civarı için planları vardır. Kemerburgaz, su satış istasyonlarının su temin merkezlerinden biridir. Kilyos-Sarıyer civarındaki potansiyel ise yapı kooperatiflerinin hedefi durumundadır.

## SONUÇ VE ÖNERİLER

1- Büyük şehirlerde artan nüfusun su gereksinimi karşılayan temiz su şebekesi ile pis su şebekesinden sızan sular zamanla doğal yeraltısu beslenmesini aşabilir. Bu nedenle büyük şehirler için hazırlanacak yeraltısu bilançolarında bu faktörler mutlaka dikkate alınmalıdır.

2- Doğal beslenme, yapışma nedeni ile asfalt yollar ve meydanlar yüzünden zamanla azalır. Pis sularla beslenmenin artmasına karşılık doğal beslenmenin azalması su kalitesini olumsuz yönde etkiler. Kuyulardan fazla su çekimi nedeni ile kıyı akiferlerinde gözlenen tuzlu su girişleri kirlenmenin diğer bir cephesidir.

3- Beslenmenin artması, su seviyesinin yükselmesini, bu ise zamanla binaların temeline hatta, zemin katlarına girmesine neden olur. Örneğin İngiltere'de Londra, Liverpool, Manchester ve Birmingham şehirlerde yeraltısu kullanımının azalması, yüzüstüsü kullanının (dolayısı ile kaçaklarla beslenimin) artması sonucu, yükselen yeraltısu seviyesi nedeni ile, kuru zemin koşullarında inşa edilmiş çok sayıda binanın temellerinin su altında kalmasına neden olmuştur (Wilkinson, 1985). Bunun ise binalardaki taşıma gücünü % 25-50 oranında azalttığı ileri sürülmüştür. Suyun yeryer sülphath oluşu ise betonu etkilemesi nedeni ile ayrıca problem oluşturmuştur. Ayrıca yükselen kirli yeraltısu (en azından su kesintileri sırasında) temiz su şebekelerine sızarak problem yaratır. Bu nedenle şebekelerden su sızmasını minimuma

indirmek ve su seviyesinin yükselmesini önlemek için drenaj önlemlerinin alınması yerinde olur. Yasal olmasa da bu kuyulardan su çekimi bu problemi şimdilik önlemektedir.

4- İstanbul'da sahil ovalarında kuyularla fazla su çekimi nedeni ile yeraltısuunun mevcut akarsulardan dolaylı beslenmesi aflatır. Bu da yeraltısuun potansiyelini yüzeysel sular aleyhine çoğaltmıştır. Ayrıca İstanbul'da kanalizasyon şebekesi yalnız atık suları değil, kısmen sel sularını da taşımaktadır. Bu durumda kanalizasyon şebekesinden boşalan veya bu şebekelerden yeraltısuuna sızan su miktarı bilançodaki rakamlardan fazla olabilir. Ancak yoğun şehirleşme nedeni ile doğal beslenmede de bir azalma söz konusudur. Bu çalışmada adı geçen beslenmelerdeki değişimlerin birbirini dengelediği varsayılmıştır.

5- İstanbul'un gelecek yıllardaki su gereksiniminin, yakın çevreden getirilecek sular ile karşılaşması planlanmıştır. Temin edilecek ek su potansiyeli, yine yeraltısuuna ek beslenmeler getirecektir. Bu beslenmelerin neden olacağı yeraltısuun seviye yükselimi, pratik olarak, önceki yıllarda olduğu gibi ihtiyaç sahiplerinin açacağı kuyularla önlenebilir. Bu nedenle, "başka yasal çözümler" getirilmekçe kanunlara dayalı yeni kuyular açılmasını önlemek İstanbul'da drenaj problemine neden olabilir. DSİ tarafından, İstanbul'daki önemli ovalarda çekilecek suyun  $23 \times 10^6 \text{ m}^3/\text{yıl}$  ile sınırlandırılmış olduğu unutulmamalıdır.

6- Genel su bilançosundan halen İstanbul'da, mevcut potansiyelin yarısından da az yarananlığı ortaya çıkmaktadır. Sazlıdere Barajı ve Yeşilçay projeleri ile yarananlık oranı daha da yükselecektir. Ayrıca, Tuzla'da olduğu gibi atık suların arıtılıarak göletlerde toplanması ve yeniden kullanılması, su olanağını artıracaktır. Bu işlemin İstanbul genelinde uygulanması hem atık su problemini çözerken, uzun mesafelerden su getirilmesi konusunda da farklı bir alternatif olabilecektir.

7- Temiz ve pis su şebekelerinden kaçaklar arttıkça yeraltısuun seviyesinin yükselme riski de artacaktır. Yeraltısuun seviyesinin binaların temellerine ulaşması, çok defa kullanılan betonu ve kuru zemin koşullarına göre projelendirilmiş temellerde, zeminin

taşima gücünü olumsuz yönde etkileyecektir. Su altında kalmış temellerde yapılan drenajlar esnasında ise zeminde farklı oturmalar ve dolayısı ile problemler oluşabilecektir. Bu nedenlerle yeraltısuunun yükselisinin temellere (veya diğer alt yapı tesislerine) ulaşmadan engellenmesinde yarar vardır. Bunun için su kalitesi ve akiferin uygun olduğu durumlarda park ve bahçe sulama işlerinde yeraltısuundan yararlanması uygun olacaktır. Bu durum temiz su şebekesinden kullanılan sudan tasarruf sağlarken yeraltısuunun yükselmesini de önleyecektir.

#### **YARARLANILAN KAYNAKLAR**

- Curi, K., 1993, Su Paneli. Kadıköy Kültür Merkezi, İstanbul.
- DSİ, 1991, Haritalı İstatistik Bülteni, DSİ, Ankara.
- Ercan, A., 1994, İstanbul Su Sorunu Paneli, İTÜ-İSKİ Ortak Toplantısı, İstanbul.
- Eroğlu, V., 1994a, İstanbul 2012 Yılına Kadar Susuz, İTÜ Vakfı Dergisi S : 13, İstanbul.
- Eroğlu, V., 1994b, İstanbul Bülteni, S:7, İstanbul Büyükkent Belediyesi Yayın Organı, Medya Print, İstanbul.
- Fillat, G., 1959, Bakırköy-K. Çekmece Havzasının Hidrojeolojik Etüdü. İTÜ Hidrojeoloji Enstitüsü, İstanbul.
- Kılıç; R., 1977, İstanbul-İzmit Arası Kıyı Ovaları Hidrojeolojik Etüd Raporu, DSİ, Ankara.
- Linsley, R., K., ve Franzini, J., B., 1964, Water Resources Engineering, Mc. Graw Hill., New York, USA.
- Samsunlu, A., ve Eroğlu, V., 1991, Yüzeysel Su Kaynaklarının Korunmasında Atıksu Arıtma Sistemlerinin İşletilmesinin Önemi. İSKİ Su Toplama Havzalarını Koruma Stratejileri Uluslararası Sempozyumu Tebliğler Kitabı, sf : 320-334 Ünal Ofset, İstanbul.
- Wilkinson, B., 1985, Rising Groundwater Level in London and Possible Effects on Engineering Structure. Hydrogeology in the Service of Man, Volume : XVIII, Memoires of the 18 th congress of IAHS, IAHS Publication, 154, Cambridge, London.

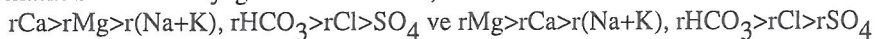
## ELMALI (ANTALYA) POLYESİNDEKİ AKİFERLERİN YERALTISUYU KİMYASI İNCELEMESİ

*Groundwater chemistry investigation of Elmali (Antalya) polje aquifers*

Mehmet ÇELİK

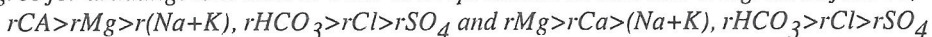
Ankara Üniversitesi, Fen Fakültesi, Jeoloji Mühendisliği Bölümü, Ankara

**ÖZ :** Elmali Polyesi'nde kaynak, sondaj ve adı kuyu suları genellikle içilmeye, endüstride kullanıma ve sulamaya elverişlidir. Sular  $\text{CaCO}_3$  a doygun,  $\text{CaSO}_4$  ise çözebilir özelliktedir. Karstik kaynak suları 1. kalite (iyi) sularıdır. Sudaki iyonların Schoeller Diyagramı'nda dizilimi;



şeklindedir. Piper diyagramında sular 5. bölgede yer almaktır olup  $\text{CaCO}_3$ 'lu ve  $\text{MgCO}_3$ 'lıdır. Sular endüstride kullanım açısından genellikle kaynarken köpürmeyecek, beton için olumsuz etki yapmayan ve kireçlendirici özellikte olan sularıdır. Kuvaterner yaşılı serbest alüvyon akiferde  $\text{rCl}$ ,  $\text{rHCO}_3$  ve EC haritaları yapılmıştır. Yeraltı suları, akım yönü boyunca bikarbonat ve elektriksel iletkenlik özellikleri bakımından zenginleşmektedir. Yapılan istatistik çalışmalarla iyonların regresyon katsayıları ve denklemleri bulunmuştur. Buna göre birbirleri ile ilişkili olan iyonlar tesbit edilmiştir.

**ABSTRACT :** Springs, drilling wells and domestik wells in Elmali Polje area is good for drilling, irrigation and for industrial purposes. Water is saturated with  $\text{CaCO}_3$  and still dissolves  $\text{CaSO}_4$ . Karstic spring waters are at the first degree for drinking. Ions exist in water are represented in Schoeller Diagram as follows;



These waters spot in the 5 th part in Piper diagram consists mainly of  $\text{CaCO}_3$  and  $\text{MgCO}_3$ . Waters are especially the hind for industrial purpose don't foam while boiling and don't effect concrete improperly which leaves  $\text{CaCO}_3$ . Mapping were carried on for Quaternary unconfined alluvium aquifer by using  $\text{rCl}$ ,  $\text{rHCO}_3$ , and EC values. It is observed that groundwater enriches by bicarbonates and electric conductivity down the streamline. Regression coefficient and equations were estimated by using statistics. Furthermore, it was determined the ions in relation with each other.

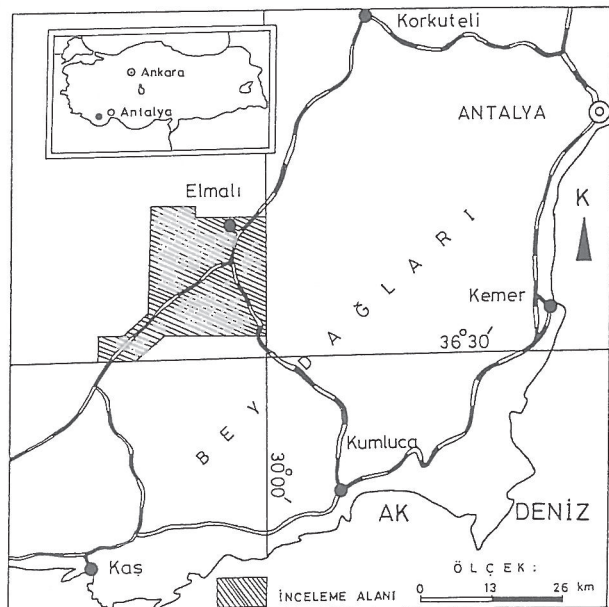
### GİRİŞ

İnceleme alanı, Batı Akdeniz Bölgesinde Antalya iline bağlı Elmali ve Gömbe dolayını kapsar. Bu alan  $36^{\circ}30'00''$ - $36^{\circ}48'00''$  enlemleri ile  $36^{\circ}00'00''$ - $29^{\circ}37'00''$  boyamları arasında olup yaklaşık 615 km<sup>2</sup>'dir (Şekil 1).

İnceleme alanı ve dolayında değişik amaçlı çalışmalar yapılmıştır. Bunlardan Colin (1962), Poisson (1967), Önalan (1979), Gözeğer ve Gül (1980) ile Şenel ve diğ. (1989) Genel jeoloji amaçlı yapılmış önemli çalışmalarlardır. DSİ (1978 ve 1992) tarafından da hidrojeoloji amaçlı çalışmalar yapılmıştır.

Bu çalışmada; alüvyon ve kireçtaşlı akifer sularının kökemi, içilebilirlik, endüstri ve sulama suyu olma özellikleri,  $\text{CaCO}_3$  ve  $\text{CoSO}_4$ 'a doyma dereceleri, ana iyonların korelasyon katsayıları vb. özellikleri üzerinde durulacaktır.

İnceleme alanında otokton, ara zon ve allokton birimler yer alır. Otokton birimlerden Beydağları otokton kireçtaşları ve Kuvaterner yaşılı alüvyon birimleri serbest akifer oluştururlar. Allokton birimlerden Eskihisar grubu kireçtaşları serbest akifer ve alüvyonun killi seviyeleri altında olduğu alanlarda basınçlı akifer özelliğindedir. Burada daha çok allokton kireçtaşları ve alüvyon birimlerinden beslenen yeraltı sularının kimyası üzerinde durulacaktır.



Şekil 1. İnceleme alanının yer belirleme haritası.  
 Figure 1. Location map of the study area.

### JEOLOJİ

Batı Torosların orta kesiminde yer alan inceleme alanındaki birimler otokton, ara zon ve allokton birim-

lerden oluşur. Ara zon ile allokton birimler Fethiye-Elmalı Napi ile birbirinden ayrılır. Beydağları otoktonu ile Menderes Masifi arasındaki bu alan Batı Toros teknesi olarak tanımlanmıştır (Ersoy, 1990). Bu teknedede yer alan birimler Oligosen'den Orta Miyosen'e (Langiyen) kadar olan dönemde sıkışma rejimi etkisiyle Beydağları otoktonuna doğru ilerlemişler ve tüm tectonik birlikler Langiyen'de (Stiriyen Fazı) Beydağları üzerine yerleşmiştir. Bu yerleşme sırasında Orta Miyosen başına kadar çökelmiş olan kırıntılar da allokton duruma geçmişlerdir. Böylece paleotektonik dönem sona ermiştir. Bu kırıntılar Şenel ve dig. (1989) tarafından ara zon olarak isimlendirilmiştir.

Otokton birimler altta Alt-Üst Kretase yaşı Beydağları kireçtaşıyla başlamakta olup bunun üzerine uyumlu olarak Paleosen yaşı Gedikbaşı formasyonu gelir. Sinekcibeli formasyonu Gömuce, Kıbrısdere ve Çayboğazı üyelerinden oluşur. Kasaba formasyonu Sinekcibeli formasyonununu uyumsuz olarak örter. Bu formasyon üzerinde de Kuvaterner birimleri gelmektedir.

Ara zon birimleri otokton birimler üzerine tectonik dokanaklı olarak gelmekte olup Gömbe grubu olarak adlandırılmıştır. Altta Elmalı formasyonu, üzerinde uyumlu olarak Uçarsu formasyonu, onun da üzerinde tektonik dokanaklı olarak Yavuz formasyonu yer almaktadır. Ara zon birimleri Tersiyer yaşıdır. Allokton birimler Triyas-Kretase yaşı olup Eskihisar Grubu, Gülbahar grubu ve Olistostromal melanjdan oluşmaktadır. Bu birimler ara zon birimleri üzerine tectonik dokanaklı olarak gelmektedir.

## HİDROJEOLIOJİ

Elmalı Polyesi'nde otokton karbonatlı birimler ve alüvyon birimleri ile allokton birimler geçirimsiz olup akifer oluştururlar. Ara zon birimleri ve otokton birimlerden Çayboğazı üyesi ve Kasaba formasyonu geçirimsiz birimlerdir.

Alandaki su noktalarını genellikle alüvyonda açılmış adı ve sondaj kuyuları, allokton birimlerde açılmış sondaj kuyuları, kaynaklar, akarsular ve Yeşilgöl oluşturur.

### Kireçtaşlı akiferi

Polyeyi dolduran alüvyon birimleri serbest akiferi oluşturmaktak olup düşey ve yatay yönde farklı özelliklere sahiptir. Alüvyon ile ova kenarındaki dik şeýlerin eteğinde oluşan yamaç molozları yanal geçişlidir. Alüvyonda düşey yöndeki değişim DSİ ve Köy Hizetleri'nin açmış olduğu kuyularda gözlenmiştir. Alüvyon kalınlığı DSİ araştırma kuyularında 250 m ye kadar çıkmıştır. Jeofizik kesitlerde en fazla 205 m olarak hesaplanmıştır.

### Kireçtaşlı akiferi

Allokton birimler Eskihisar ve Gülbahar grubu ile olistostromal melanjdan oluşmaktadır. Bu birimler alüvyonun altında olduğu durumlarda, Balıklardağı'nın batısında alüvyonun killi seviyelerinden dolayı basınçlı akifer oluştururlar. Birimin yüzeylendiği alanlarda

serbest akifer konumundadır. Kazanpınar, Pınarbaşı ve Uçarsu gibi önemli kaynaklar bu birimin sularını boşaltmaktadır.

### Su kimyası

İnceleme alanında alüvyon ve kireçtaşlı akiferinde açılan; adı ve sondaj kuyuları, kaynak, göl ve akarsulardan alınan su örnekleri üzerinde 1989-1992 yılları boyunca kimya tahlilleri yapılmıştır. Bu makalade adı geçen tüm çizim ve haritalar Ekim 1989 su kimyası verilerine göre değerlendirilmiştir. İstatistiksel değerlendirmeler ise 1989-1992 yıllarında yapılan kimyasal analiz sonuçlarına göre yapılmıştır.

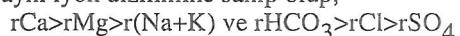
Yeraltı ve yüzey suları için diyagramlar çizilerek suların kayaçlarla ilgisi, iyonların miliequivale olarak dizilimi, içilebilirlik özellikleri, sulama suyu olma özellikleri,  $\text{CaSO}_4$  ve  $\text{CaCO}_3$ 'a doygunlıklarının araştırılması ve endüstride kullanımları üzerinde durulmuştur. Ayrıca alüvyon akifer sularının eş klorür, eş bikarbonat ve eş elektriksel iletkenlik haritaları çizilerek yeraltı suyu akımı boyunca bu özelliklerin değişimi incelenmiştir.

### Suların tahlil sonuçlarının grafiklerle gösterilmesi

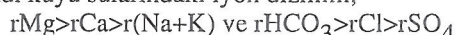
Suların özelliklerini ortaya koyabilmek için Yarı Logaritmik Schoeller, kolon, Piper, Schoeller İçilebilirlik, Wilcox, ABD Tuzluluk Laboratuvarı ve Langelier denge diyagramlarından yararlanılmıştır.

### Yarı logaritmik Schoeller diyagramı

Bu diyagrama göre yapılan değerlendirmede alüvyon ve kireçtaşlı akiferi suları iki grupta toplanmaktadır. Alanda kireçtaşlı akiferinden boşalan kaynak sularının tamamı ile S1, S2, S4, S13 sondaj kuyuları ve K1, K2, K5, K10, K21, K23, K30 ve K36 nolu adı kuyu suları aynı iyon dizilimine sahip olup,



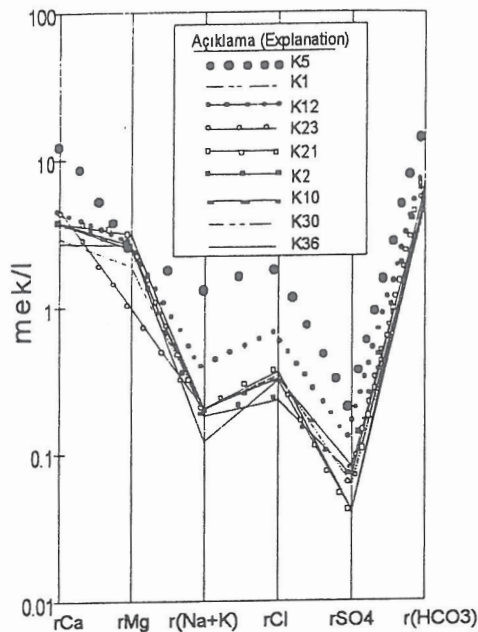
şeklindedir (Şekil 2). Sondaj kuyularından S7, S10, S16 ile K9, K14, K16, K20, K24, K31, K42, K48 ve K51 nolu adı kuyu sularındaki iyon dizilimi,



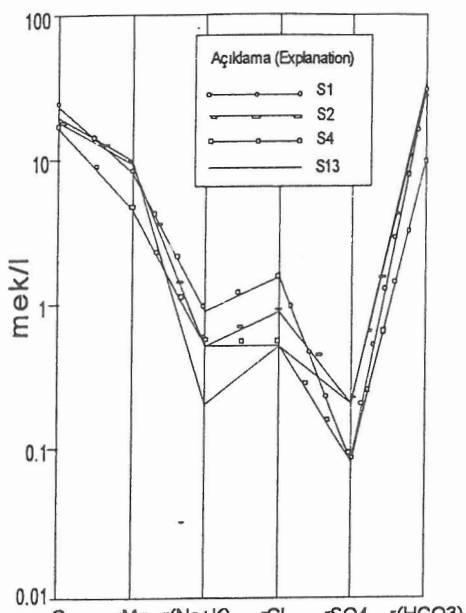
şeklindedir (Şekil 3). Bu iki farklı iyon dizilimi dışında bazı kuyularda rCa ve rMg iyonlarının zaman zaman birbirine üstünlük sağladıkları görülmüştür. Bu şekilde olan kuyu suları; K15, K25, K44 ve K50 kuyularına aittir. Yapılan kayaç analizleri sonucu  $\text{CaCO}_3$  oranının % 98 dolayında olduğu, dolomitik kireçtaşlarında bu oran % 63 dür (Çizelge 1). Sular genellikle kireçtaşlarından beslendiği için rCa ve rHCO<sub>3</sub> miktarı yüksektir.

Dolomitik kireçtaşlarından beslenen kuyu sularında rMG ve rHCO<sub>3</sub> oranı diğer ana iyonlardan daha yüksektir. Akçay ve Güyü Çayındaki iyon dizilimi, rMg > rCa > r(Na+K) ve rHCO<sub>3</sub> > rCl > rSO<sub>4</sub> şeklindedir.

Ülkemizde karbonatlı kayaçlar diğerlerine oranla daha yaygın oldukları için bu birimlerin taşıdığı sular da kalsiyum ve magnezyum karbonatlı olmaktadır. İrmene



(a)



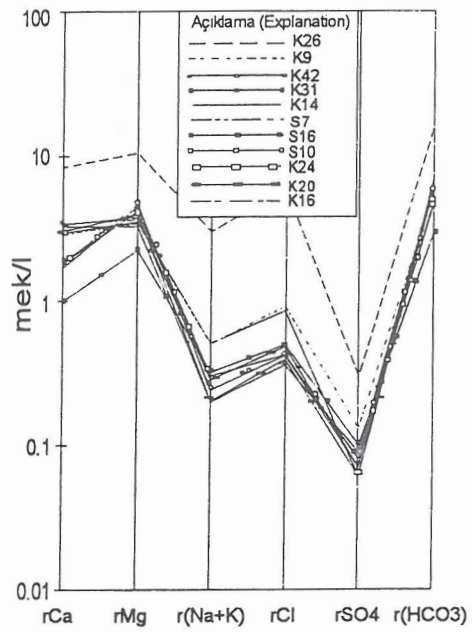
(b)

**Şekil 2.** Yarı Logaritmik Schoeller Diyagramı (a ve b).  
**Figure 2.** Semi Logarithmic Schoeller Diagram (a and b).

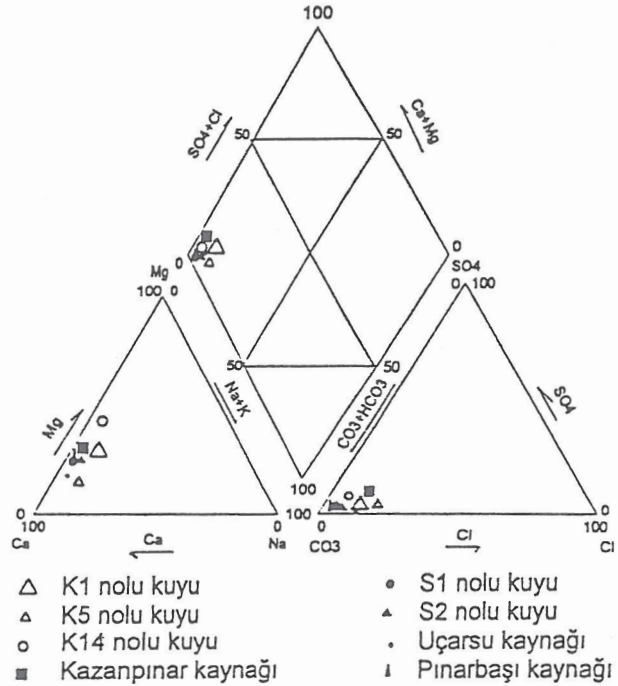
(Bodrum) Polyesi'ndeki sular ise sodyum klorürlüdür (Canik, 1985).

#### Sütun diyagramları

İyonların miliekvaleen değerlerine göre çizilen grafiklerde, suda oluşacak tuzların % olarak büyüklükleri belirlenmiştir (Çelik, 1994). Bunlar genellikle  $\text{Ca}(\text{HCO}_3)_2$ ,  $\text{Mg}(\text{HCO}_3)_2$ ,  $\text{NaCl}$ ,  $\text{MgCl}_2$  ve  $\text{MgSO}_4$



**Şekil 3.** Yarı Logaritmik Schoeller Diyagramı.  
**Figure 3.** Semi Logarithmic Schoeller Diagram..



**Şekil 4.** İnceleme alanındaki suların piper diyagramı.  
**Figure 4.** Piper diagram of waters in the study area.

şeklindedir. Dolomitik kireçtaşlarından beslenen kuyularla özellikle  $\text{Mg}(\text{HCO}_3)_2$ ,  $\text{Ca}(\text{HCO}_3)_2$  den büyktür (Çizelge 2).

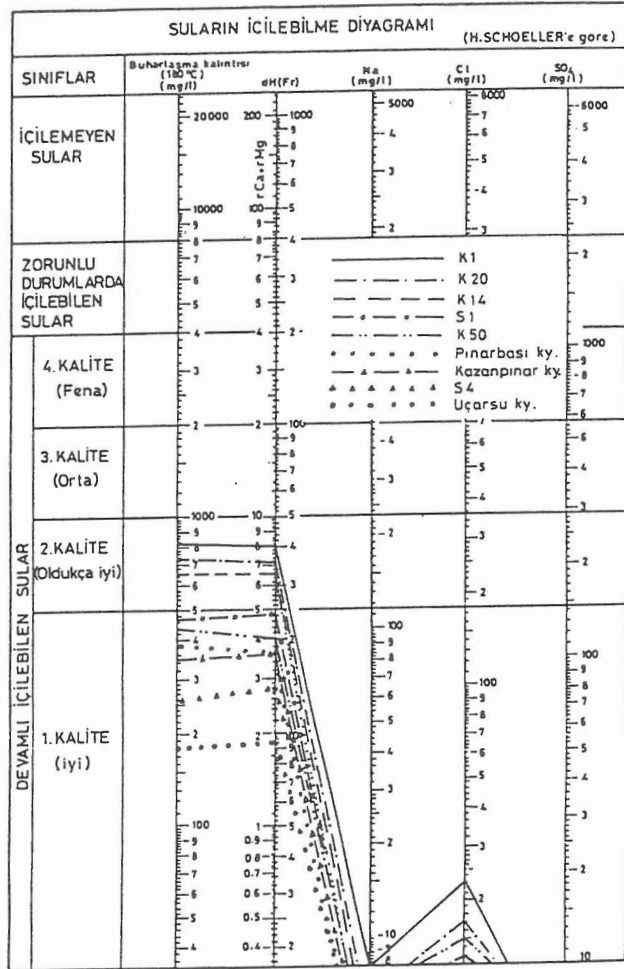
#### Piper Diyagramı

Suların % mek/ değerlerine göre çizilen Piper Diyagramında sular 5 nolu bölgede toplanmıştır. Bu bölgeye düşen sularda karbonat sertliği, karbonat olma-

Çizelge 1. Kayaçların kimyasal analiz sonuçları.

Table 1. Results of the chemical analyses of the samples.

Örnek No.	Örnek yeri	CaO %	MgO %	SiO <sub>2</sub> %	Fe <sub>2</sub> O <sub>3</sub> %	Al <sub>2</sub> O <sub>3</sub> %	CO <sub>2</sub> % (Ateş kaybı)
İk-1	İmircik KD	54.60	1.00	0.15	0.30	-	43.79
Kzk-1	Kuzuköy GD	55.70	0.00	0.22	0.10	0.28	43.44
Eld	İradkayası	35.70	16.51	0.31	0.10	0.21	47.02
Kzk-3	Katranlı Tepe	55.80	0.16	0.23	0.03	0.39	43.24
Bal	Balıklardağı	55.91	0.00	0.11	0.00	0.00	43.87



Şekil 5. Suların içilebilme diyagramı.

Figure 5. Drinkable diagram of waters.

yan sertlikten fazla olup  $\text{CaCO}_3$  ve  $\text{MgCO}_3$ 'lı sulardır. Karbonat sertliği % 50 den fazladır (Şekil 4).

#### Suların içilebilme özellikleri

İnceleme alanında yer alan suların içilebilirlik özellikleri Schoeller'in içilebilirlik diyagramı (Şekil 5) ve Türk Standartlarına göre belirlenmiştir.

Schoeller Diyagramı'na göre alandaki bütün sular devamlı içilebilen sular grubunda yer alır. Bu kategorideki sular da kendi aralarında 1., 2 ve 3. kalite olmak üzere gruplanmış olup, kaynak ve derin sondaj kuyularına ait sular 1. kalite, devamlı içilebilen sular grubun-

da, adi kuyulara ait sular ise genellikle 2. kalite sular grubundadır. TS (1966)'ya göre alandaki suların ana iyonları, pH ve genellikle içilebilme sınırları içerisinde yer alır. Suları TS (1966)'ya göre tam anlamıyla sınıflandırılmak için suların fiziksel özellikleri ile suları kirletici ve zehirleyici maddelerin de araştırılması gerekdir.

Suların Fransız sertlik derecesine göre yapılan sınıflamasında Yeşilgöl kaynağı, Yeşilgöl ve Uçarsu kaynağı "memba", alandaki diğer kaynaklar ve bazı kuyu suları "tatlı su", geri kalan adi kuyu, sığ ve derin sondaj kuyu suları ise genellikle "sert su" özelliğindedir (Çizelge 3).

#### Suların sulama suyu özellikleri

İnceleme alanındaki suların sulamaya uygun olup olmadıkları Wilcox ve ABD Tuzluluk Laboratuvarı diyagramları yardımıyla saptanmıştır (Şekil 6a ve b). Bu diyagralarda elektriksel iletkenlik (EC), sodyum yüzdesi (% Na) ve sodyum adsorpsiyon oranı (SAR) kullanılmıştır.

$$\text{SAR} = \frac{\text{rNa}}{\sqrt{\frac{(\text{rCa} + \text{rMg})}{2}}} \quad \% \text{rNa} = \frac{\text{r}(Na + K)}{\text{r}(Ca + Mg + Na + K)}$$

Wilcow diyagramına göre Yeşilgöl, Akçay Deresi ve Güyü Çayı suları "çok iyi ve iyi" özellikle kullanılabilir sulardır. Diğer kuyu suları "çok iyi ve iyi" ile "iyi kullanılabilir" özellikle tedir.

ABD Tuzluluk Laboratuvarı Diyagramına göre alandaki sular C1-S1, C2-S1 ve C3-S1 sınıfında yer alır (Şekil 6a).

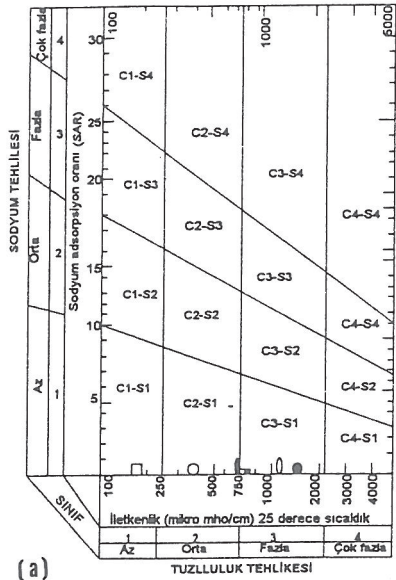
#### Suların $\text{CaSO}_4$ ve $\text{CaCO}_3$ 'a doygunluğunun

##### araştırılması

Suların  $\text{CaSO}_4$  ve  $\text{CaCO}_3$ 'a doygunluğunun araştırılması Yarı Logaritmik Schoeller Diyagramı ve yöntemi ile yapılmıştır (Schoeller, 1962). İyonik kuvvet Schoeller formülüne göre hesaplanmıştır.

$$\mu = 0.001 \left( \frac{\text{rCl}}{2} + \frac{\text{rNa}}{2} + \frac{\text{rHCO}_3}{2} \right) + \text{rSO}_4 + \text{rCl} + \text{rMg}$$

İnceleme alanında yer alan adi kuyu, sondaj kuyusu ve kaynaklardan alınan numulerin  $\text{CaSO}_4$ 'a

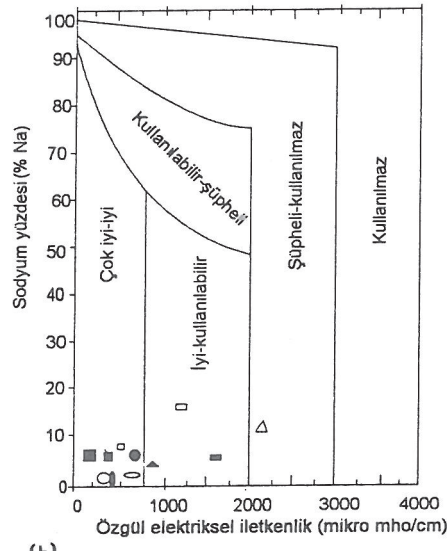


(a)

## Açıklama (Explanation)

- K1 □ K16 □ Akçay deresi
- K5 ○ K25 ○ Kazanpınar kaynağı
- K14

Şekil 6. ABD Tuzluluk Diyagramı (a) ve Wilcox Diyagramı (b).



(b)

## Açıklama (Explanation)

- ▲ K15 □ K25 ■ Akçay deresi
- K5 ▲ K26 ○ Kazanpınar kaynağı
- K14 ▨ K50 ▨ S4
- K16 ▨ S1 ▨ S4

Figure 6. USA Salinity Diagram (a) and Wilcox Diagram (b).

K14 (%)	$\text{Ca}(\text{HCO}_3)_2 > \text{Mg}(\text{HCO}_3)_2 > \text{MgSO}_4 = \text{NaCl} > \text{MgCl}_2$	49	44	3	3	1
K1 (%)	$\text{Ca}(\text{HCO}_3)_2 > \text{Mg}(\text{HCO}_3)_2 > \text{NaCl} > \text{MgSO}_4 > \text{MgCl}_2$	63	28	4	3	2
K2 (%)	$\text{Ca}(\text{HCO}_3)_2 > \text{Mg}(\text{HCO}_3)_2 > \text{MgSO}_4 > \text{NaCl}$	58	37	3	2	
K5 (%)	$\text{Ca}(\text{HCO}_3)_2 > \text{Mg}(\text{HCO}_3)_2 > \text{NaCl} > \text{MgCl}_2 > \text{MgSO}_4$	79	9	7	3.5	1.5
K20 (%)	$\text{Mg}(\text{HCO}_3)_2 > \text{Ca}(\text{HCO}_3)_2 > \text{MgSO}_4 > \text{NaCl} > \text{MgCl}_2$	47	46	3	2.5	1.5
K26 (%)	$\text{Ca}(\text{HCO}_3)_2 > \text{Mg}(\text{HCO}_3)_2 > \text{NaCl} > \text{MgCl}_2 > \text{MgSO}_4$	38	33	14	13.5	1.5
K50 (%)	$\text{Ca}(\text{HCO}_3)_2 > \text{Mg}(\text{HCO}_3)_2 > \text{NaCl} > \text{MgSO}_4 > \text{MgCl}_2$	65	22	7	4	2
S1 (%)	$\text{Ca}(\text{HCO}_3)_2 > \text{Mg}(\text{HCO}_3)_2 > \text{MgSO}_4 > \text{NaCl} > \text{MgCl}_2$	65	26	4	3	2
S3 (%)	$\text{Ca}(\text{HCO}_3)_2 > \text{Mg}(\text{HCO}_3)_2 > \text{NaCl} = \text{MgSO}_4 > \text{MgCl}_2$	59	36	2	2	1
S4 (%)	$\text{Ca}(\text{HCO}_3)_2 > \text{Mg}(\text{HCO}_3)_2 > \text{NaCl} > \text{MgSO}_4 > \text{MgCl}_2$	67	19	6	5	3
Kazanpınar Kaynağı (%)	$\text{Ca}(\text{HCO}_3)_2 > \text{Mg}(\text{HCO}_3)_2 > \text{NaCl} = \text{MgSO}_4 > \text{MgCl}_2$	66	26	3	3	2

Çizelge 2. Sularda oluşabilecek tuzlar.

doygunluğu araştırılmış olup tüm suların  $\text{CaSO}_4$  çözülebilir (susatüre) özellikle oldukları tespit edilmiştir. Bu özellik kaynak ve kuyu sularında adi kuyu sularına oranla daha fazladır.

Table 2. Occurrences ability of salts in the waters.

Suların  $\text{CaCO}_3$ 'a doygunluğu araştırıldığından adi kuyu suları  $\text{CaCO}_3$  çözülebilir özelliktedir. Ancak  $\text{CaCO}_3$ 'ca doygunluğa çok yakındır. Sondaj kuyu sularının doygunluğa (satüre) çok yakın oldukları